



امضاء:

نام خانوادگی:

نام:

صبح پنج شنبه
۸۸/۱۱/۲۹

دفترچه ۱



اگر دانشگاه اصلاح شود مملکت اصلاح می شود.
امام خمینی (ره)

جمهوری اسلامی ایران
وزارت علوم، تحقیقات و فناوری
سازمان سنجش آموزش کشور

آزمون ورودی دوره‌های کارشناسی ارشد نایپوسته داخل – سال ۱۳۸۹

مجموعه مهندسی پلیمر - کد ۱۲۵۵

مدت پاسخگویی: ۲۲۵ دقیقه

تعداد سوال: ۱۵۰

عنوان مواد امتحانی، تعداد و شماره سوالات

ردیف	مواد امتحانی	تعداد سوال	از شماره	تا شماره
۱	زبان عمومی و تخصصی	۲۰	۱	۳۰
۲	شیمی پلیمر (شیمی پلیمر - اصول مهندسی پلیمریزاسیون)	۲۰	۳۱	۵۰
۳	ریاضیات مهندسی	۱۵	۵۱	۶۵
۴	تکنولوژی پلیمر (الاستومر - پلاستیک - کامبوزیت)	۲۵	۶۶	۹۰
۵	شیمی فیزیک پلیمرها و خواص فیزیکی و مکانیکی پلیمرها	۲۰	۹۱	۱۱۰
۶	پدیده‌های انتقال (رنتوگنی - حرارت - جرم)	۲۰	۱۱۱	۱۳۰
۷	کنترل فرآیندهای پلیمری	۱۰	۱۲۱	۱۴۰
۸	mekanik سیالات	۱۰	۱۴۱	۱۵۰

بهمن ماه سال ۱۳۸۸

استفاده از ماشین حساب مجاز نمی باشد.

PART A: Vocabulary

Directions: Choose the word or phrase (1), (2), (3), or (4) that best completes each sentence. Then mark the correct choice on your answer sheet.

- 1- What was intended as a peaceful demonstration rapidly ----- into violence.
 1) agitated 2) degenerated 3) preceded 4) discriminated
- 2- The Democratic Party ----- 70 percent of the vote.
 1) garnered 2) esteemed 3) obligated 4) assembled
- 3- Some animals can ----- very high temperatures.
 1) detach 2) submit 3) obstruct 4) withstand
- 4- Researchers have discovered that up to one half of all children born of alcoholics are genetically ----- to alcoholism.
 1) discerned 2) apprehended 3) predisposed 4) impressed
- 5- Communication via the Internet gives an important ----- to international trade.
 1) dimension 2) exposure 3) expenditure 4) distribution
- 6- Lack of childcare facilities can be a major ----- for women wishing to work.
 1) dispute 2) routine 3) obstacle 4) contraction
- 7- It is a common ----- that women are worse drivers than men.
 1) essence 2) impetus 3) fallacy 4) amusement
- 8- The ----- for using this teaching method is to encourage student confidence.
 1) advent 2) rationale 3) authenticity 4) constitution
- 9- The degree of punishment should be ----- to the seriousness of the crime.
 1) inclined 2) receptive 3) prominent 4) proportional
- 10- Low inflation is the key to ----- economic growth.
 1) sustained 2) congruous 3) extravagant 4) well-disposed

PART B: Cloze Test

Directions: Read the following passage and decide which choice (1), (2), (3), or (4) best fits each space. Then mark the correct choice on your answer sheet.

Commonwealth of Nations is an international organization composed of independent states, all of which were part of the British Empire. It was constituted by the Statute of Westminster, (11) ----- the British Dominions were recognized as 'autonomous communities', (12) ----- the British Crown. Since 1947, when India chose (13) ----- within the Commonwealth, it has consisted of an increasing number of republics, so that the role of the British monarch, who is the head of only seventeen (14) ----- a total of fifty-three member states, is confined (15) ----- head of the Commonwealth. Given that its member states have little in common apart from a historical tie to the UK, it has rarely been able to influence world affairs, except perhaps for its leadership on the international imposition of sanctions upon South Africa.

- 11- 1) so 2) which 3) so that 4) in which
- 12- 1) binding together 2) bound together by
 3) together having bound 4) having bound together
- 13- 1) to remain 2) remaining 3) for remaining 4) to be remained
- 14- 1) by 2) out of 3) within 4) outside
- 15- 1) for 2) to who is 3) to that of 4) that she is

PART C: Reading Comprehension

Directions: Read the following three passages and choose the best choice (1), (2), (3), or (4). Then mark it on your answer sheet.

PASSAGE 1:

For more than two decades, the delivery of bioactive agents from polymeric materials has attracted the considerable attention of investigators throughout the scientific community. Polymer chemists, chemical engineers, pharmaceutical scientists, and entomologists are among those seeking to design predictable, controlled delivery systems for bioactive agents ranging from insulin to rodenticides. This challenge has been a formidable one to date as evidenced by the small number of fully developed products based on this concept. One must realize, however, that only in the past 10 years with the onsurge of biotechnology has research in controlled drug delivery benefited from the intense dedication of resources. With the availability of new molecules, often with short biological half-lives and relatively high molecular weights, the need for reliable controlled release systems has been apparent.

The trend in drug delivery technology has been toward biodegradable polymer excipients requiring no follow-up surgical removal once the drug supply is depleted. The advantages of biodegradable polymers have been described (1-3). Unfortunately, investigators seeking advanced drug delivery systems are severely limited in candidate polymeric materials as evidenced by the relatively small number of systems described in this text. Historically, designers of drug delivery systems have "borrowed" polymeric materials originally developed for other applications. Only one or two synthetic polymers have been developed specifically for use in controlled release formulations.

- 16- According to the paragraph, what is the proposed mechanism of stabilization of polymer exposed to out door exposure in the third classification in the text.
 - 1) activation of reactive species
 - 2) deactivation of reactive species
 - 3) blocking or screening out the incident radiation
 - 4) addition of additives which preferentially absorb damping radiation.
- 17- According to the text, poly (methylmethacrylate) and polytetra fluoroethylene (PTFE) polymers.
 - 1) will degrade under effect of uv from sun
 - 2) will not degrade in applications such as extra-terrestrial
 - 3) will degrade when exposed to artificial sourcesol radiation
 - 4) will not degrade when exposed to artificial sources of radiation
- 18- An example of Extra-terrestrial applications of polymers may include.
 - 1) in aerospace
 - 2) as coatings and paints
 - 3) in automation industry
 - 4) as biodegradalule polymers in drug delivery system

- 19- According to the text, which one of the following statements is correct?
- 1) All polymers will degrade between 300nm and 600nm without exceptions
 - 2) All polymers will degrade between 300nm to 600nm with some exceptions
 - 3) All polymers will degrade between 300nm and 600nm with exceptions of PMMA and PTFE
 - 4) PTFE and PMMA will not degrade by virtue of their molecular structure when exposed to 300nm and 600nm x-rays
- 20- According to the paragraph, Activation spectra maximum (ASM), is -----.
- 1) the maximum wave length region at which each polymer is prone to uv degradation and its value is not constant
 - 2) the maximum wave length region at which each polymer is prone to uv degradation and its value is constant
 - 3) the maximum wave length region at which each polymer is not prone to uv degradation and its value is constant
 - 4) the maximum wave length region at which each polymer is most prone to uv degradation and its value is not constant

PASSAGE 2:

Radiation-induced degradation is a general phenomenon, responsible for failure of polymers in many applications. Absorption of ultraviolet (uv) radiation during outdoor exposure rapidly degrades most polymers, unless they are properly stabilized. However, there are exceptions, e.g. poly(methyl methacrylate) and polytetrafluoroethylene, that resist this type of degradation by virtue of their molecular structure.

As was discussed in Sect. B, most polymers are sensitive to uv radiation in the wavelength region between 300 and 360 nm. Individual polymers absorb and are degraded by uv within a much narrower region, often referred to as the activation spectra maximum¹⁾. These maxima vary with polymer structure and represent the wavelength region at which each polymer is most susceptible to uv degradation.

Artificial sources of radiation also degrade polymers. X-rays and other electromagnetic sources which generate radiation at damaging wavelengths, including nuclear reactors and radioactive isotopes, can cause polymer degradation, but these sources are of less general importance than is outdoor exposure to solar radiation. Extra-terrestrial applications of polymers are increasing, and the intense solar radiation beyond the earth's atmosphere presents a new and important environment in which degradation could take place. Stabilization against degradation resulting from exposure to each of these sources of radiolytic energy is of considerable importance.

There are three general approaches to stabilization against radiolytic degradation: (1) by blocking or screening out the incident radiation, (2) by the use of additives which preferentially absorb damaging radiation and dissipate the energy in a harmless way, and (3) by the use of additives which deactivate reactive species or intermediates in the polymer as it undergoes degradation. Each of these approaches is exemplified in the stabilization of polymers against uv-induced radiation, the major energy component responsible for degradation during outdoor weathering.

- 21- According to the text, which one of the following statements is correct?
- 1) advances in biotechnology has lead to research in controlled drug delivery system
 - 2) increasing the number of researchers has lead to development of controlled drug delivery system
 - 3) on surge of one or two synthetic polymers in past 20 years have lead to developing controlled drug delivery system
 - 4) on surge of one or two synthetic polymers in past 10 years have lead to developing controlled drug delivery system

- 22- The challenge for developing new polymeric materials for drug delivery system has been _____.
1) not encouraging 2) very encouraging 3) very conservative 4) very advanced
- 23- According to the text, the initial application of polymers in delivery system has been _____.
1) as entomology 2) as rodenticides
3) in biomedical applications 4) in non biomedical applications
- 24- According to the text, researchers in the field of drug delivery system (polymer chemists, chemical Engineers, pharmaceutical scientists, and entomologists).
1) are confined to few polymeric materials
2) are not confined to few polymeric materials
3) the number of researchers in drug delivery system are limited
4) the number of researchers in drug delivery system are not limited
- 25- According to the text, trend in drug delivery system has been _____.
1) to follow up surgical removal once the drug supply is depleted
2) to remove the biodegradable polymer once the drug supply is depleted
3) to follow up surgical removal and check that the drug supply is depleted.
4) not to remove the biodegradable polymers once the drug supply is depleted

PASSAGE 3:

The discussion so far in this chapter had applied to transfer moulding as a technique which has been used in the Moulding Industry for many years and the references to the principles of the technique. Mechanical equipment used, materials and design. The economics of the process and the design applications are all relevant. However, during the last few years a total revision of the transfer moulding process (and in fact many compression mouldings) has taken place by the introduction of a series of machines based on the injection moulding principle. but with cylinders heaters and control equipment which enable modified thermoset materials to be moulded.

The principles of operation for injection moulding thermosets are basically the same as those of the previously described original transfer method. However, with the further sophistications of the machinery. one is able to apply in addition to the operating pressures and temperatures, additional hydraulic pressures which ensure a clamping of the tool faces. Thus avoiding the problem of back pressure splitting the tool and causing excessive flashing as was always a possibility in the transfer method. This new type of machine also allows for semi-automatic or fully automatic running, as distinct from the manual operatior of the earlier process.

Equipment

The machinery for injection moulding of thermosets, Because of the additional built in facilities is considerably more expensive than the conventional hydraulic press. However, advantages occur with the more precise and constant temperature controls and operating cycle which can be achieved with this machine. Many of the machines also have the advantage of being able by he change of a cylinder and other ancillary equipment to be used for injection moulding of thermoplastic materials.

Material and design

As discussed earlier, the design of the product has been the controlling factor in the use the original transfer technique. With the injection process which uses the same method of processing the material through to the impressions the problems of small cross-sections and shapes for which pins are used are naturally catered for in the same manner as applied in the original transfer technique. The controlling factor in the injection technique is the design criteria, however, these points of design are normally the same as those for thermoplastic injection mouldings and thermosetting compression mouldings, namely:

1. Sections should be as uniform as possible.
2. Suitable radii should be allowed to ensure flow of material.
3. Sections should be sufficient size to allow for flow of material.
4. It should be remembered that the thickness of sections dictates the length of cure time for the moulding.
5. No inserts should be included in the moulding, But provision should be made for any necessary insertion as a secondary operation.
6. Care should be taken to allow a suitable point on the product where the feeder gate may be positioned.

The process does cause heavy wear on the tooling gates due to the fast flow and abrasive nature of the materials. Consequently, one should endeavour to design the tools with replaceable gates, and also ensure that the tools are hardened and able to resist wear on the actual impressions of the mouldings.

The biggest problems encountered are with regard to the strength and positioning of the gating, which must be placed such as to avoid damage to the finished product and yet be in a position which will allow full and easy flow. Thus producing full impressions.

The fault problems of burning blistering still occur in this process as with normal transfer and compression but. With the greater sophistication of control. They are more readily eliminated. With the faster cycling, and the manner in which the tools are manufactured, there is an increase in the problem of gassing (ie the trapping of gasses and air in small cavities, stopping the material filling or causing a very hot area which generates a burn on the material). And the need for more careful venting is created.

26- Two of the Advantages of Injection Moulding of thermosets are:

- 1) precise shape and lower energy consumption
- 2) precise temperature control and operating cycles.
- 3) less defects in products and better properties
- 4) faster production rate and lower cost of machines

27- In the Injection moulding of thermosets the reasons which cause heavy wear on the gates are:

- 1) speed of production
- 2) clamping force of the moulds
- 3) high temperatures and pressures used
- 4) fast flow and Abrasive nature of the materials

28- The problem of blistering is eliminated by:

- | | |
|------------------------|----------------------------------|
| 1) better control | 2) better design |
| 3) more carful venting | 4) use of the lower temperatures |

29- Biggest problem in design of the moulds are:

- | | |
|------------------------------------|--|
| 1) uniformity of the sections | 2) control of the temperature |
| 3) sufficient size of the sections | 4) strength and positioning of the gates |

30- According to the text, the problem of excessive flashing can be overcome by:

- | | |
|-----------------------------------|-------------------------------|
| 1) better moulds | 2) higher temperatures |
| 3) additional hydraulic pressures | 4) precise amount of material |

مستر تست؛ وب سایت تخصصی آزمون کارشناسی ارشد

صیغ پنج شنبه ۲۹/۱۱/۸۸

شیمی پلیمر (شیمی پلیمر، اصول مهندسی پلیمریزاسیون) (۶)

- ۳۱ در پلیمریزاسیون‌های رادیکالی مونومرهای وینیلی در شرایط حالت پایا (S.S) و دمای ثابت کدامیک از روابط زیر طول سینتیکی زنجیر (v) را نشان می‌دهد؟ R_i سرعت لحظه‌ای فاز شروع، k_p و k_t به ترتیب ثابت سرعت انتشار و اختتام هستند.

$$v = \frac{k_p[M]}{2(R_i k_t)^{\frac{1}{2}}} \quad (۱)$$

$$v = \frac{k_p[M]}{(R_i 2k_t)^{\frac{1}{2}}} \quad (۲)$$

$$v = \frac{k_p^{\tau}[M]^{\tau}}{2R_i k_t} \quad (۳)$$

$$v = \frac{k_p[M]}{2R_i k_t} \quad (۴)$$

- ۳۲ در پلیمریزاسیون مرحله‌ای مونومر AB با غلظت دو مولار در یک دمای ثابت و در حضور یک کاتالیزور به مدت ۳ ساعت پلیمریزه می‌شود. اگر ثابت سرعت واکنش $\frac{1}{10 \times 10^{-3}}$ باشد مقدار متوسط عددی درجه پلیمریزاسیون (\bar{x}_n) چقدر می‌شود؟
- (۱) ۱۰۸ (۲) ۱۰۹ (۳) ۲۰۸ (۴) ۲۰۹

- ۳۳ در پلیمریزاسیون آنیونی مونومر استایرین با استفاده از (سدیم - نفتالین) 10^{-3} مولار واکنش تا تکمیل پیشرفته است. اگر غلظت مونومریک مولار و دمای محیط واکنش هم ثابت باشد متوسط عددی درجه پلیمریزاسیون (\bar{x}_n) پلیمر حاصل چقدر است؟
- (۱) ۱۰۰۰ (۲) ۱۵۰۰ (۳) ۲۰۰۰ (۴) ۳۰۰۰

- ۳۴ در پلیمریزاسیون رادیکالی اثر قفس چه نقشی دارد؟
- (۱) اثر قفس در واقع وسیله‌ای است که افزایش رادیکال‌های آزاد به مونومرها را تسهیل می‌کند.
(۲) مولکول‌های شروع کننده به دلیل اثر قفس سریعاً تجزیه شده و رادیکال‌های آزاد جدید تشکیل می‌دهند.
(۳) اثر قفس باعث حفاظت رادیکال‌های آزاد تشکیل شده از ترکیب مجدد شده و کارآئی آنها را افزایش می‌دهد.
(۴) در موقع تولید رادیکال‌های آزاد این رادیکال‌ها در زمان بسیار اندکی گرفتار مولکول‌های حلال اطراف خود می‌شوند و همین باعث از بین رفتن درصد رادیکال‌های آزاد تشکیل شده می‌شود.

- ۳۵ در سنتز فوم‌های پلی یورتان مکانیزم پف کردن چگونه است؟
- (۱) مخلوط واکنشی را به شدت بهم می‌زنیم تا کف تشکیل شود.
(۲) عمل پف کردن خود به خود صورت می‌گیرد و احتیاج به عملیات اضافی ندارد.
(۳) در موقع انجام واکنش به وسیله‌ی لوله‌ای گاز ازت را به محیط واکنش اضافه می‌کنند.
(۴) قبل از انجام واکنش بین دی‌ایزوسیانات و پلی‌ال مقداری مایع فرار که در دمای بالاتر تبدیل به گاز می‌شود به پلی‌ال افزوده می‌شود.

- ۳۶ فرمول شیمیایی پروتئین‌ها به کدام دسته از پلیمرهای مصنوعی نزدیک هستند؟
- (۱) قندها (۲) پلی‌آمیدها (۳) ال‌جینات (۴) سلولز و مشتقان آنها

- ۳۷ سنتز پلی‌وینیل الکل با چه روشی است؟
- (۱) از احیاء مستقیم پلی‌اکریلیک اسید بدست می‌آید.
(۲) از هیدرولیز اسیدی پلی‌متیل متاکریلات حاصل می‌شود.
(۳) از سنتز رادیکالی مستقیم وینیل الکل در دمای 60°C درجه سانتی‌گراد حاصل می‌شود.
(۴) از هیدرولیز پلی‌وینیل استاتی بست می‌آید که به روش محلولی رادیکالی پلیمر شده باشد.

- ۳۸ دی‌متیل پاراتولوئیدین در پلیمریزاسیون رادیکالی چه نقشی دارد؟
- (۱) یک شتاب‌دهنده مؤثر است.
(۲) یک مولکول شروع کننده است.
(۳) یک تأخیر دهنده است.

کدامیک از مکانیزم‌های زیر در واکنش شروع به روش انتقال بار در پلیمریزاسیون آنیونی غالب است؟

(۱) انتقال الکترون از مونومر به شروع کننده

(۲) انتقال هیدروژن از مونومر بر روی شروع کننده

(۳) انتقال الکترون از شروع کننده به اتصال بی مونومر

(۴) انتقال الکترون از شروع کننده بر روی مونومر و ایجاد آنیون رادیکال

به چه دلیل در پلیمریزاسیون تراهیدروفوران با وجود کمی بودن سرعت شروع توزیع وزن مولکولی پهن می‌شود؟

(۱) به دلیل انتقال به زنجیر

(۲) به دلیل انتقال به مونومر

(۳) جفت شدن کاتیون با آنیون همراحت

(۴) اثر تحریبی مولکول شروع کننده

در صورتی که تابع توزیع جزء وزنی نمونه‌ای پلیمری به صورت $i^m \exp(-b^n i)$ باشد، کدام رابطه در مورد b صحیح است؟

$$(m+1)!^{\frac{1}{n(m+1)}} \quad (۱)$$

$$m!^{\frac{1}{n(m+1)}} \quad (۲)$$

$$m!^{-n(m+1)} \quad (۳)$$

$$m^{-n(m+1)} \quad (۴)$$

در یک پلیمریزاسیون مرحله‌ای در حضور کاتالیزور خارجی، اگر غلظت هر دو مونومر دو عاملی A و B - $A + B \rightleftharpoons -AB + W$ - تولید شود، غلظت محصول جانبی پس از ۱۵ ثانیه چند مول بر لیتر باشد و محصول جانبی طی واکنش

$$(k' = \frac{lit}{mol \cdot sec}) \quad (۱)$$

(۱۵) ۴

(۲) ۶

(۳) ۵

(۴) ۱

در یک پلیمریزاسیون مرحله‌ای مونومرهای AB ، حداکثر جزء مولی برای پلیمرهای شامل ۴ واحد مونومری چقدر است؟

$$\frac{432}{3125} \quad (۱)$$

$$\frac{81}{256} \quad (۲)$$

$$\frac{27}{256} \quad (۳)$$

$$0/25 \quad (۴)$$

در واکنش پلیمریزاسیون رادیکال آزاد با ۴ برابر شدن غلظت مونومر و شروع کننده، سرعت واکنش به ترتیب برابر و برابر می‌شود.

(۱) ۴ و ۴

(۲) ۴ و ۲

(۳) ۲ و ۴

(۴) ۲ و ۲

در واکنش پلیمریزاسیون رادیکال آزاد، در صورتی که واکنش‌های انتقال در سیستم وجود نداشته باشند و اختتام از طریق تسهیم نامتناسب انجام شود، مقدار متوسط عددی درجه پلیمریزاسیون جمعی از چه رابطه‌ای به دست می‌آید؟

$$-\frac{\ln(1-P)}{P} \quad (۱)$$

$$-\frac{P}{\ln(1-P)} \quad (۲)$$

$$\frac{1}{P} \quad (۳)$$

$$\frac{1}{1-\frac{1}{2}} \quad (۴)$$

در واکنش‌های کوبلیمریزاسیون، قانون بودنستاین به چه صورتی است و از چه فرضی نشأت می‌گیرد؟

$$(۱) k_{1,2}[M_1^*][M_2] = k_{2,1}[M_2^*][M_1]$$

$$(۲) k_{1,2}[M_1^*][M_2^*] = k_{2,1}[M_2^*][M_1^*]$$

$$(۳) k_{1,2}[M_1^*][M_2] = k_{2,1}[M_2^*][M_1]$$

$$(۴) k_{1,2}[M_1^*][M_2^*] = k_{2,1}[M_2^*][M_1^*]$$

در صورتی که باشد، تغییرات سرعت اولیه واکنش کوبلیمریزاسیون با ترکیب درصد خوارک تقریباً خطی است.

(۱) $\phi = 1$ (۲) $\phi > 1$, $r_1, r_2 < 1$ (۳) $\phi > 1$, $r_1, r_2 > 1$ (۴) بستگی به ثوابت سرعت دارد

در یک واکنش کوبلیمریزاسیون رادیکالی r_1 و r_2 به ترتیب برابر $1/1$ و 1 هستند. در صورتی که سهم هر دو مونومر در خوارک برابر باشد، توالی لحظه‌ای طول مونومرهای اول و دوم به ترتیب چقدر است؟

(۱) ۲ و ۲

(۲) ۱/۱ و ۲

(۳) ۲ و ۱/۱

(۴) ۱ و ۱

-۴۹ جزء وزنی پلیمر در پلیمریزاسیون رادیکال آزاد در صورتی که واکنش شروع به صورت حرارتی باشد، چقدر است؟

$$\frac{R_t}{R_p + R_t} \quad (۴)$$

۱-P(۲)

P(۱)

-۵۰ درتابع توزیع لگاریتم نرمال، مقدار B در روش‌های کریمر و وسلا به ترتیب چقدر است؟

$-\sqrt{PDI}$ (۴)

\sqrt{PDI} (۳)

۱۰۱ (۲)

۰۱ (۱)

ریاضیات مهندسی

-۵۱ برای حل دستگاه معادلات زیر از روش گوس-جردن، ماتریس افزوده Augmented mation کدام گزینه است؟

$$\begin{cases} -x_1 + x_2 = 2 \\ 3x_1 - x_2 = 6 \end{cases}$$

$$\begin{bmatrix} -1 & 1 \\ 3 & -1 \end{bmatrix} (۲)$$

$$\begin{bmatrix} -1 & 1 & 1 & 0 \\ 3 & -1 & 0 & 1 \end{bmatrix} (۴)$$

$$\begin{bmatrix} -1 & 1 \\ 3 & -1 \end{bmatrix} (۱)$$

$$\begin{bmatrix} -1 & 1 & 2 \\ 3 & -1 & 6 \end{bmatrix} (۳)$$

پاسخ کدام گزینه صفر است؟

$$\int_{R_1}^{R_2} r^r Y_o(\lambda_n r) Y_o(\lambda_m r) dr \quad (۱)$$

$$\int_{R_1}^{R_2} Y_o(\lambda_n r) Y_o(\lambda_m r) dr \quad (۲)$$

-۵۲ تبدیل لاپلاس $\frac{dy}{dx}$ کدام گزینه است؟

$$-s \frac{dY}{ds} - y + y(0) \quad (۲)$$

$$- \int (s^r Y + s y(0) + y'(0)) ds \quad (۴)$$

$$-s^r Y - s y(0) - y'(0) \quad (۱)$$

$$-s^r \frac{dY}{ds} - s Y + y(0) \quad (۳)$$

-۵۳ برای حل عددی معادله دیفرانسیل زیر از روش اولر (Euler)

$$y'' + \sqrt{x} y' - 2x^r y = 0$$

$$x = x_0 \Rightarrow y = y_0 \& y' = y'_0$$

کدام گزینه زیر فرمول برگشتی را نشان می‌دهد؟

$$y_{n+1} = y_n + \Delta x [2x_n^r y_n - \sqrt{x_n} y'_n] \quad (۱)$$

$$y_{n+1} = y_n + \Delta x [y'_n + \Delta x y_{n-1}] + \frac{\Delta x^r}{\gamma} [2x_n^r y_n - \sqrt{x_n} y'_n] \quad (۲)$$

$$y_{n+1} = y_n + \Delta x [y'_n + \Delta x [2x_n^r y_n - \sqrt{x_n} y'_n]] + \frac{\Delta x^r}{\gamma} [2x_n^r y_n - \sqrt{x_n} y'_n] \quad (۳)$$

$$y_{n+1} = y_n + \Delta x [y'_{n-1} + \Delta x [2x_{n-1}^r y_{n-1} - \sqrt{x_{n-1}} y'_{n-1}]] + \frac{\Delta x^r}{\gamma} [2x_n^r y_n - \sqrt{x_n} y'_n] \quad (۴)$$

$$y_{n+1} = y_n + \Delta x [y'_{n-1} + \Delta x [2x_{n-1}^r y_{n-1} - \sqrt{x_{n-1}} y'_{n-1}]] + \frac{\Delta x^r}{\gamma} [2x_n^r y_n - \sqrt{x_n} y'_n] \quad (۵)$$

$$y_{n+1} = y_n + \Delta x [y'_{n-1} + \Delta x [2x_{n-1}^r y_{n-1} - \sqrt{x_{n-1}} y'_{n-1}]] + \frac{\Delta x^r}{\gamma} [2x_n^r y_n - \sqrt{x_n} y'_n] \quad (۶)$$

$$y_{n+1} = y_n + \Delta x [y'_{n-1} + \Delta x [2x_{n-1}^r y_{n-1} - \sqrt{x_{n-1}} y'_{n-1}]] + \frac{\Delta x^r}{\gamma} [2x_n^r y_n - \sqrt{x_n} y'_n] \quad (۷)$$

$$y_{n+1} = y_n + \Delta x [y'_{n-1} + \Delta x [2x_{n-1}^r y_{n-1} - \sqrt{x_{n-1}} y'_{n-1}]] + \frac{\Delta x^r}{\gamma} [2x_n^r y_n - \sqrt{x_n} y'_n] \quad (۸)$$

$$y_{n+1} = y_n + \Delta x [y'_{n-1} + \Delta x [2x_{n-1}^r y_{n-1} - \sqrt{x_{n-1}} y'_{n-1}]] + \frac{\Delta x^r}{\gamma} [2x_n^r y_n - \sqrt{x_n} y'_n] \quad (۹)$$

$$y_{n+1} = y_n + \Delta x [y'_{n-1} + \Delta x [2x_{n-1}^r y_{n-1} - \sqrt{x_{n-1}} y'_{n-1}]] + \frac{\Delta x^r}{\gamma} [2x_n^r y_n - \sqrt{x_n} y'_n] \quad (۱۰)$$

$$y_{n+1} = y_n + \Delta x [y'_{n-1} + \Delta x [2x_{n-1}^r y_{n-1} - \sqrt{x_{n-1}} y'_{n-1}]] + \frac{\Delta x^r}{\gamma} [2x_n^r y_n - \sqrt{x_n} y'_n] \quad (۱۱)$$

$$y_{n+1} = y_n + \Delta x [y'_{n-1} + \Delta x [2x_{n-1}^r y_{n-1} - \sqrt{x_{n-1}} y'_{n-1}]] + \frac{\Delta x^r}{\gamma} [2x_n^r y_n - \sqrt{x_n} y'_n] \quad (۱۲)$$

$$y_{n+1} = y_n + \Delta x [y'_{n-1} + \Delta x [2x_{n-1}^r y_{n-1} - \sqrt{x_{n-1}} y'_{n-1}]] + \frac{\Delta x^r}{\gamma} [2x_n^r y_n - \sqrt{x_n} y'_n] \quad (۱۳)$$

$$y_{n+1} = y_n + \Delta x [y'_{n-1} + \Delta x [2x_{n-1}^r y_{n-1} - \sqrt{x_{n-1}} y'_{n-1}]] + \frac{\Delta x^r}{\gamma} [2x_n^r y_n - \sqrt{x_n} y'_n] \quad (۱۴)$$

$$y_{n+1} = y_n + \Delta x [y'_{n-1} + \Delta x [2x_{n-1}^r y_{n-1} - \sqrt{x_{n-1}} y'_{n-1}]] + \frac{\Delta x^r}{\gamma} [2x_n^r y_n - \sqrt{x_n} y'_n] \quad (۱۵)$$

$$y_{n+1} = y_n + \Delta x [y'_{n-1} + \Delta x [2x_{n-1}^r y_{n-1} - \sqrt{x_{n-1}} y'_{n-1}]] + \frac{\Delta x^r}{\gamma} [2x_n^r y_n - \sqrt{x_n} y'_n] \quad (۱۶)$$

$$y_{n+1} = y_n + \Delta x [y'_{n-1} + \Delta x [2x_{n-1}^r y_{n-1} - \sqrt{x_{n-1}} y'_{n-1}]] + \frac{\Delta x^r}{\gamma} [2x_n^r y_n - \sqrt{x_n} y'_n] \quad (۱۷)$$

$$y_{n+1} = y_n + \Delta x [y'_{n-1} + \Delta x [2x_{n-1}^r y_{n-1} - \sqrt{x_{n-1}} y'_{n-1}]] + \frac{\Delta x^r}{\gamma} [2x_n^r y_n - \sqrt{x_n} y'_n] \quad (۱۸)$$

$$y_{n+1} = y_n + \Delta x [y'_{n-1} + \Delta x [2x_{n-1}^r y_{n-1} - \sqrt{x_{n-1}} y'_{n-1}]] + \frac{\Delta x^r}{\gamma} [2x_n^r y_n - \sqrt{x_n} y'_n] \quad (۱۹)$$

$$y_{n+1} = y_n + \Delta x [y'_{n-1} + \Delta x [2x_{n-1}^r y_{n-1} - \sqrt{x_{n-1}} y'_{n-1}]] + \frac{\Delta x^r}{\gamma} [2x_n^r y_n - \sqrt{x_n} y'_n] \quad (۲۰)$$

$$y_{n+1} = y_n + \Delta x [y'_{n-1} + \Delta x [2x_{n-1}^r y_{n-1} - \sqrt{x_{n-1}} y'_{n-1}]] + \frac{\Delta x^r}{\gamma} [2x_n^r y_n - \sqrt{x_n} y'_n] \quad (۲۱)$$

$$y_{n+1} = y_n + \Delta x [y'_{n-1} + \Delta x [2x_{n-1}^r y_{n-1} - \sqrt{x_{n-1}} y'_{n-1}]] + \frac{\Delta x^r}{\gamma} [2x_n^r y_n - \sqrt{x_n} y'_n] \quad (۲۲)$$

$$y_{n+1} = y_n + \Delta x [y'_{n-1} + \Delta x [2x_{n-1}^r y_{n-1} - \sqrt{x_{n-1}} y'_{n-1}]] + \frac{\Delta x^r}{\gamma} [2x_n^r y_n - \sqrt{x_n} y'_n] \quad (۲۳)$$

$$y_{n+1} = y_n + \Delta x [y'_{n-1} + \Delta x [2x_{n-1}^r y_{n-1} - \sqrt{x_{n-1}} y'_{n-1}]] + \frac{\Delta x^r}{\gamma} [2x_n^r y_n - \sqrt{x_n} y'_n] \quad (۲۴)$$

$$y_{n+1} = y_n + \Delta x [y'_{n-1} + \Delta x [2x_{n-1}^r y_{n-1} - \sqrt{x_{n-1}} y'_{n-1}]] + \frac{\Delta x^r}{\gamma} [2x_n^r y_n - \sqrt{x_n} y'_n] \quad (۲۵)$$

$$y_{n+1} = y_n + \Delta x [y'_{n-1} + \Delta x [2x_{n-1}^r y_{n-1} - \sqrt{x_{n-1}} y'_{n-1}]] + \frac{\Delta x^r}{\gamma} [2x_n^r y_n - \sqrt{x_n} y'_n] \quad (۲۶)$$

$$y_{n+1} = y_n + \Delta x [y'_{n-1} + \Delta x [2x_{n-1}^r y_{n-1} - \sqrt{x_{n-1}} y'_{n-1}]] + \frac{\Delta x^r}{\gamma} [2x_n^r y_n - \sqrt{x_n} y'_n] \quad (۲۷)$$

$$y_{n+1} = y_n + \Delta x [y'_{n-1} + \Delta x [2x_{n-1}^r y_{n-1} - \sqrt{x_{n-1}} y'_{n-1}]] + \frac{\Delta x^r}{\gamma} [2x_n^r y_n - \sqrt{x_n} y'_n] \quad (۲۸)$$

$$y_{n+1} = y_n + \Delta x [y'_{n-1} + \Delta x [2x_{n-1}^r y_{n-1} - \sqrt{x_{n-1}} y'_{n-1}]] + \frac{\Delta x^r}{\gamma} [2x_n^r y_n - \sqrt{x_n} y'_n] \quad (۲۹)$$

$$y_{n+1} = y_n + \Delta x [y'_{n-1} + \Delta x [2x_{n-1}^r y_{n-1} - \sqrt{x_{n-1}} y'_{n-1}]] + \frac{\Delta x^r}{\gamma} [2x_n^r y_n - \sqrt{x_n} y'_n] \quad (۳۰)$$

$$y_{n+1} = y_n + \Delta x [y'_{n-1} + \Delta x [2x_{n-1}^r y_{n-1} - \sqrt{x_{n-1}} y'_{n-1}]] + \frac{\Delta x^r}{\gamma} [2x_n^r y_n - \sqrt{x_n} y'_n] \quad (۳۱)$$

$$y_{n+1} = y_n + \Delta x [y'_{n-1} + \Delta x [2x_{n-1}^r y_{n-1} - \sqrt{x_{n-1}} y'_{n-1}]] + \frac{\Delta x^r}{\gamma} [2x_n^r y_n - \sqrt{x_n} y'_n] \quad (۳۲)$$

$$y_{n+1} = y_n + \Delta x [y'_{n-1} + \Delta x [2x_{n-1}^r y_{n-1} - \sqrt{x_{n-1}} y'_{n-1}]] + \frac{\Delta x^r}{\gamma} [2x_n^r y_n - \sqrt{x_n} y'_n] \quad (۳۳)$$

$$y_{n+1} = y_n + \Delta x [y'_{n-1} + \Delta x [2x_{n-1}^r y_{n-1} - \sqrt{x_{n-1}} y'_{n-1}]] + \frac{\Delta x^r}{\gamma} [2x_n^r y_n - \sqrt{x_n} y'_n] \quad (۳۴)$$

$$y_{n+1} = y_n + \Delta x [y'_{n-1} + \Delta x [2x_{n-1}^r y_{n-1} - \sqrt{x_{n-1}} y'_{n-1}]] + \frac{\Delta x^r}{\gamma} [2x_n^r y_n - \sqrt{x_n} y'_n] \quad (۳۵)$$

$$y_{n+1} = y_n + \Delta x [y'_{n-1} + \Delta x [2x_{n-1}^r y_{n-1} - \sqrt{x_{n-1}} y'_{n-1}]] + \frac{\Delta x^r}{\gamma} [2x_n^r y_n - \sqrt{x_n} y'_n] \quad (۳۶)$$

$$y_{n+1} = y_n + \Delta x [y'_{n-1} + \Delta x [2x_{n-1}^r y_{n-1} - \sqrt{x_{n-1}} y'_{n-1}]] + \frac{\Delta x^r}{\gamma} [2x_n^r y_n - \sqrt{x_n} y'_n] \quad (۳۷)$$

$$y_{n+1} = y_n + \Delta x [y'_{n-1} + \Delta x [2x_{n-1}^r y_{n-1} - \sqrt{x_{n-1}} y'_{n-1}]] + \frac{\Delta x^r}{\gamma} [2x_n^r y_n - \sqrt{x_n} y'_n] \quad (۳۸)$$

$$y_{n+1} = y_n + \Delta x [y'_{n-1} + \Delta x [2x_{n-1}^r y_{n-1} - \sqrt{x_{n-1}} y'_{n-1}]] + \frac{\Delta x^r}{\gamma} [2x_n^r y_n - \sqrt{x_n} y'_n] \quad (۳۹)$$

$$y_{n+1} = y_n + \Delta x [y'_{n-1} + \Delta x [2x_{n-1}^r y_{n-1} - \sqrt{x_{n-1}} y'_{n-1}]] + \frac{\Delta x^r}{\gamma} [2x_n^r y_n - \sqrt{x_n} y'_n] \quad (۴۰)$$

$$y_{n+1} = y_n + \Delta x [y'_{n-1} + \Delta x [2x_{n-1}^r y_{n-1} - \sqrt{x_{n-1}} y'_{n-1}]] + \frac{\Delta x^r}{\gamma} [2x_n^r y_n - \sqrt{x_n} y'_n] \quad (۴۱)$$

$$y_{n+1} = y_n + \Delta x [y'_{n-1} + \Delta x [2x_{n-1}^r y_{n-1} - \sqrt{x_{n-1}} y'_{n-1}]] + \frac{\Delta x^r}{\gamma} [2x_n^r y_n - \sqrt{x_n} y'_n] \quad (۴۲)$$

$$y_{n+1} = y_n + \Delta x [y'_{n-1} + \Delta x [2x_{n-1}^r y_{n-1} - \sqrt{x_{n-1}} y'_{n-1}]] + \frac{\Delta x^r}{\gamma} [2x_n^r y_n - \sqrt{x_n} y'_n] \quad (۴۳)$$

$$y_{n+1} = y_n + \Delta x [y'_{n-1} + \Delta x [2x_{n-1}^r y_{n-1} - \sqrt{x_{n-1}} y'_{n-1}]] + \frac{\Delta x^r}{\gamma} [2x_n^r y_n - \sqrt{x_n} y'_n] \quad (۴۴)$$

$$y_{n+1} = y_n + \Delta x [y'_{n-1} + \Delta x [2x_{n-1}^r y_{n-1} - \sqrt{x_{n-1}} y'_{n-1}]] + \frac{\Delta x^r}{\gamma} [2x_n^r y_n - \sqrt{x_n} y'_n] \quad (۴۵)$$

$$y_{n+1} = y_n + \Delta x [y'_{n-1} + \Delta x [2x_{n-1}^r y_{n-1} - \sqrt{x_{n-1}} y'_{n-1}]] + \frac{\Delta x^r}{\gamma} [2x_n^r y_n - \sqrt{x_n} y'_n] \quad (۴۶)$$

$$y_{n+1} = y_n + \Delta x [y'_{n-1} + \Delta x [2x_{n-1}^r y_{n-1} - \sqrt{x_{n-1}} y'_{n-1}]] + \frac{\Delta x^r}{\gamma} [2x_n^r y_n - \sqrt{x_n} y'_n] \quad (۴۷)$$

$$y_{n+1} = y_n + \Delta x [y'_{n-1} + \Delta x [2x_{n-1}^r y_{n-1} - \sqrt{x_{n-1}} y'_{n-1}]] + \frac{\Delta x^r}{\gamma} [2x_n^r y_n - \sqrt{x_n} y'_n] \quad (۴۸)$$

$$y_{n+1} = y_n + \Delta x [y'_{n-1} + \Delta x [2x_{n-1}^r y_{n-1} - \sqrt{x_{n-1}} y'_{n-1}]] + \frac{\Delta x^r}{\gamma} [2x_n^r y_n - \sqrt{x_n} y'_n] \quad (۴۹)$$

$$y_{n+1} = y_n + \Delta x [y'_{n-1} + \Delta x [2x_{n-1}^r y_{n-1} - \sqrt{x_{n-1}} y'_{n-1}]] + \frac{\Delta x^r}{\gamma} [2x_n^r y_n - \sqrt{x_n} y'_n] \quad (۵۰)$$

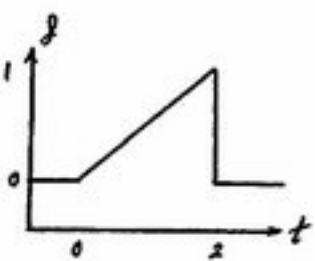
$$y_{n+1} = y_n + \Delta x [y'_{n-1} + \Delta x [2x_{n-1}^r y_{n-1} - \sqrt{x_{n-1}} y'_{n-1}]] + \frac{\Delta x^r}{\gamma} [2x_n^r y_n - \sqrt{x_n} y'_n] \quad (۵۱)$$

-۵۵ برای حل عددی $f(x) = 0$ ، اگر فاصله $[a, b]$ بگونه‌ای انتخاب شود که $(x - a)f(a) < 0$ و در این فاصله اکسترمم نداشته باشد، کدام گزینه صحیح نیست؟

- ۱) هر حدسی در فاصله $[a, b]$ با روش تکرار به جواب همگراست.
- ۲) هر حدسی در فاصله $[a, b]$ با روش نیوتن به جواب همگراست.
- ۳) هر حدسی در فاصله $[a, b]$ با روش تنصیف (bisection) به جواب همگراست.
- ۴) هر حدسی در فاصله $[a, b]$ با روش نابجایی (false position) به جواب همگراست.

-۵۶ کدام گزینه در خصوص مقدار مشخصه و بردار مشخصه یک ماتریس صحیح است؟

- ۱) مقدار مشخصه ماتریس $A_{2 \times 2}$ از دترمینان $A - \lambda I$ بدست می‌آید.
- ۲) مقدار مشخصه ماتریس $A_{2 \times 2}$ از دترمینان $A - \lambda I$ بدست می‌آید.
- ۳) رتبه ماتریس A باید برابر تعداد مقدار مشخصه باشد تا بردار مشخصه قابل محاسبه باشد.
- ۴) رتبه ماتریس $A - \lambda I$ باید برابر تعداد مقدار مشخصه‌ها باشد تا بردار مشخصه قابل محاسبه باشد.



-۵۷ کدام گزینه در خصوص تقریب تابع داده شده در شکل توسط سری فوریه صحیح است؟

- ۱) این تابع را می‌توان با ترکیب خطی تابع گاما نوشت.
- ۲) این تابع را نمی‌توان با ترکیب خطی تابع مثلثاتی تقریب زد.
- ۳) این تابع را می‌توان با ترکیب خطی تابع بسل نوع اول تقریب زد.
- ۴) این تابع متناوب نیست لذا نمی‌توان سری فوریه آن را نوشت.

-۵۸ یک صفحه بزرگ به ضخامت L در دمای اولیه T_0 قرار دارد. دو طرف این صفحه در دمای T_a قرارداده می‌شود. در بدست

آوردن توزیع دمای گذرا در این مشخصه کدام گزینه صحیح نیست؟

- ۱) معادله حاکمه بدست آمده از طریق روش تفکیک متغیرها (روش ضربی) قابل حل نیست.
- ۲) معادله حاکمه بدست آمده از طریق روش تفکیک متغیرها قابل حل بوده و معادله مشخصه می‌تواند صرفاً سینوسی باشد.
- ۳) معادله حاکمه بدست آمده از طریق روش تفکیک متغیرها قابل حل بوده و معادله مشخصه می‌تواند صرفاً کسینوسی باشد.
- ۴) معادله حاکمه بدست آمده از طریق روش تفکیک متغیرها قابل حل بوده و معادله مشخصه می‌تواند ترکیب خطی سینوس و کسینوس باشد.

-۵۹ تبدیل لاپلاس تابع $t \sinh t$ کدام گزینه است؟

$$\frac{2s}{(s^2 - 1)^2} \quad (۱)$$

$$\frac{-2s}{(s^2 - 1)^2} \quad (۲)$$

$$\frac{2s}{(s^2 + 1)^2} \quad (۳)$$

$$\frac{-2s}{(s^2 + 1)^2} \quad (۴)$$

-۶۰ برای حل کدام معادله زیر به روش سری توانی، جواب $y = \sum_{n=0}^{\infty} a_n x^{n+c}$ استفاده نمی‌شود؟

- ۱) معادله لزاندر
- ۲) معادله بسل بهبود یافته

- ۱) معادله بسل
- ۲) معادله فربنیوس

-۶۱- یک کاتالیست به صورت استوانه طولانی به طول L_r ساخته شده است. دبی حجمی Q به طور پیوسته با غلظت C یک واکنش دهنده از محور این استوانه وارد شده و به طور شعاعی از کاتالیست عبور می‌کند. این واکنش دهنده تحت واکنش درجه اول مصرف می‌شود. از نفوذ در جهت شعاعی صرفنظر می‌شود. کدام گزینه توزیع غلظت (C) است؟

$$C = C_1 e^{-\frac{k\pi L_r}{q}} \quad (2)$$

$$C = C_1 \left(1 - \left(\frac{r}{R}\right)^q\right) \quad (4)$$

$$C = C_1 e^{-\frac{k\pi L_r^2}{q}} \quad (1)$$

$$C = C_1 \left(1 - \left(\frac{r}{R}\right)^q\right) \quad (3)$$

-۶۲- کدام گزینه مفهوم بهتری از تنفس $\tau_{xy} = -\mu \frac{dv_x}{dy}$ می‌باشد؟

(۱) شدت انتقال ممتد توسط نیرو در جهت y

(۲) فلاکس انتقال ممتد توسط نیرو در جهت y

(۳) شدت مولکولی انتقال ممتد توسط مولفه v_x در جهت y

(۴) فلاکس مولکولی انتقال ممتد توسط مولفه v_x در جهت y

-۶۳- برای مدل‌سازی جریان پلیمر مذاب در دای اکسترودر موازنۀ انرژی و ممتد توسط نوشته می‌شود. برای آنکه مدل‌سازی قابل انجام باشد درجه آزادی معادلات باید چند باشد؟

(۱) صفر

(۲) یک

(۳) دو

(۴) سه

-۶۴- موازنۀ جرم برای جزء A در یک محیط پیوسته نوشته می‌شود. کدام گزینه می‌تواند بیانگر انتقال و جابجایی جزء A توسط جریان باشد؟ (V بردار سرعت، C تابع غلظت)

$$V \cdot \nabla C \quad (2)$$

$$V \times \nabla^T C \quad (4)$$

$$VV \cdot C \quad (1)$$

$$V \times \nabla C \quad (3)$$

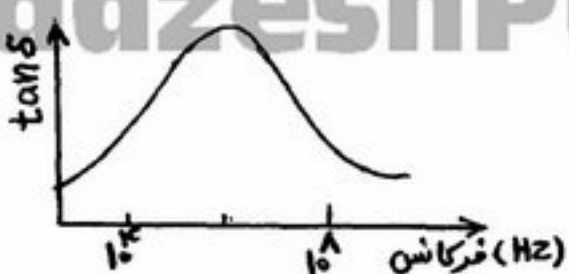
-۶۵- معادله دیفرانسیل هرمتی (Hermite) به صورت $y'' - 2xy' + 2ny = 0$ است، جواب این معادله چند جمله‌ای هرمتی می‌باشد که متعامد هستند. تابع وزنی چند جمله‌ایهای هرمتی کدام گزینه است؟

(۱) x (۲)

$$e^{-x^2} \quad (4)$$

(۳)

$$-x^2 \quad (3)$$



-۶۶ یک قطعه لاستیکی شبکه‌ای شده بر پایه کانوچوی (لاستیک) بیوتیل در ابعاد معین تهیه شده است تا به عنوان جاذب ارتعاش در فرکانس‌های $HZ 10^4$ تا 10^8 در دمای $25^\circ C$ عمل نماید. تغییرات پارامتر اتلاف ($\tan \delta$) این قطعه نسبت به فرکانس در دمای $25^\circ C$ به صورت مقابل می‌باشد. کدام یک از گزینه‌های زیر صحیح است؟

- (۱) افزایش دانسیته اتصالات عرضی قطعه (CLD) باعث افزایش قابلیت جذب در محدوده $HZ 10^4 - 10^8$ می‌گردد.
- (۲) افزایش دمای قطعه باعث انتقال پیک ($\tan \delta$) به فرکانس‌های بالاتر و کاهش SOC در مرحله ولکانیزاسیون باعث افزایش شدت جذب می‌گردد.
- (۳) افزایش دمای قطعه باعث انتقال پیک ($\tan \delta$) به فرکانس‌های پایین‌تر و کاهش SOC در مرحله ولکانیزاسیون باعث افزایش قابلیت جذب در محدوده $HZ 10^4 - 10^8$ می‌گردد.
- (۴) افزایش دانسیته اتصالات عرضی (CLD) قطعه باعث کاهش قابلیت جذب قطعه در محدوده $HZ 10^4 - 10^8$ و افزایش دمای قطعه باعث افزایش قابلیت جذب آن در محدوده $HZ 10^4 - 10^8$ می‌گردد.

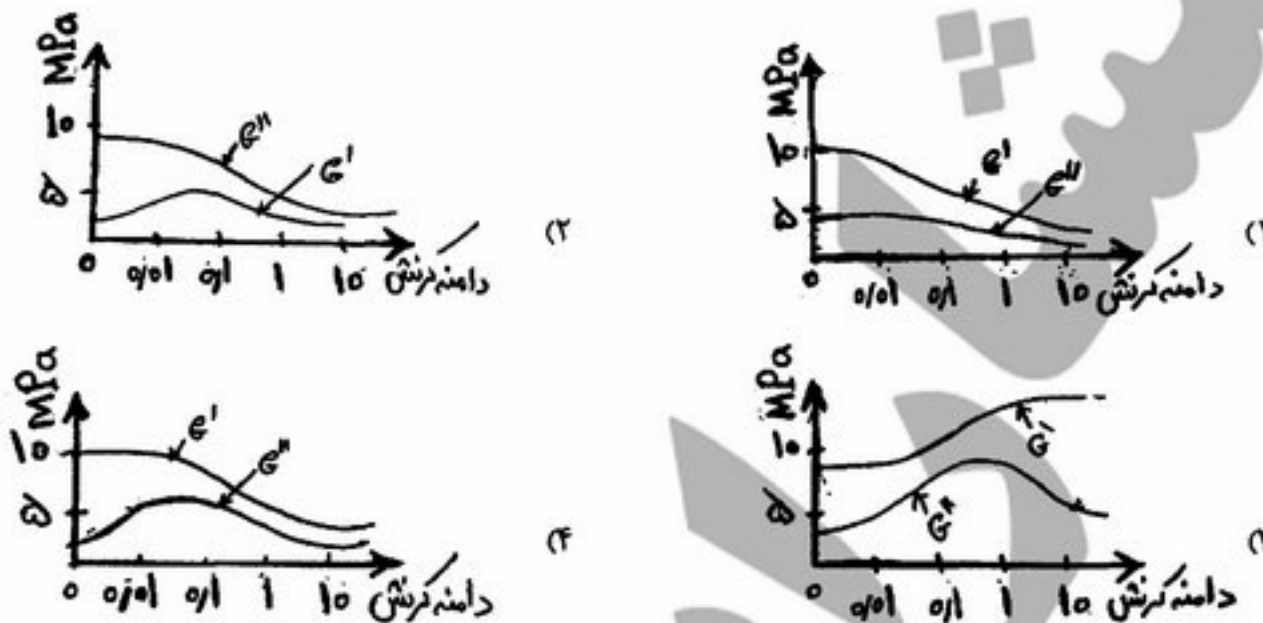
- ۶۷ در فرآیند اختلاط مذاب یک الاستومر با دوده به عنوان تقویت‌کننده، مرحله incorporation mixing یکی از مراحل اختلاط به شمار می‌رود. کدام یک از گزینه‌ها در مورد این مرحله صحیح است؟
- (۱) وقوع پدیده wetting و افزایش گشتاور اختلاط
 - (۲) وقوع پدیده wetting، ثبیت مورفولوژی مخلوط، افزایش گشتاور اختلاط
 - (۳) کاهش ویسکوزیته الاستومر تحت شرایط اختلاط، وقوع پدیده wetting و کاهش گشتاور اختلاط
 - (۴) افزایش ویسکوزیته الاستومر در شرایط اختلاط، وقوع پدیده wetting و افزایش گشتاور اختلاط

- ۶۸ دو گونه از الاستومر پلی‌بوتاڈی ان (BR) تهیه شده در فرآیند پلیمریزاسیون با حضور فلز لیتیم (Li) و نیکل (Ni) را به عنوان کاتالیزور پلیمریزاسیون در نظر می‌گیریم به طوری که ریز ساختار آنها در جدول زیر نشان داده شده است. کدام یک از گزینه‌های زیر در مورد دو گونه BR صادق است:

کاتالیست	%Cis	%Transe	%۱,۲-Vinyl
Li	۲۵	۵۵	۱۰
Ni	۹۶-۹۸	۰,۰-۱	۴-۱

- (۱) نرو (Nerve) گونه (Ni) در حین فرآیند بیشتر و مقاومت سایشی آن نیز بیشتر است.
- (۲) نرو (Nerve) گونه (Li) در حین فرآیندهای مکانیکی بیشتر و مقاومت سایشی آن نیز بیشتر است.
- (۳) نرو (Nerve) گونه (Ni) در حین فرآیندهای مکانیکی بیشتر و مقاومت سایشی آن کمتر است.
- (۴) نرو (Nerve) هر دو گونه BR یکسان لیکن مقاومت سایشی گونه (Li) بیشتر است.

-۶۹- آمیزه‌ای بر پایه کاتوجوی SBR امولسیونی حاوی 60 phr فیلر سیلیکا (SiO_2) و یک سامانه شبکه‌ای کننده گوگردی از نوع E (Efficient) به تهیه و سپس در دمای 160°C و SOC معادل optimumcure آن ولکانیزه شده است. نمونه‌ای از شبکه ولکانیزاسیونی این آمیزه تحت یک میدان تنش دینامیکی با فرکانس معین قرار داده و تغییرات مدول الاستیک آن با دامنه کرنش مطالعه شده است. کدامیک از اشکال زیر در مورد رفتار ویسکو الاستیک این قطعه صحیح است؟ (مدول الاستیک = G^1 و مدول اتلاف = G^2)



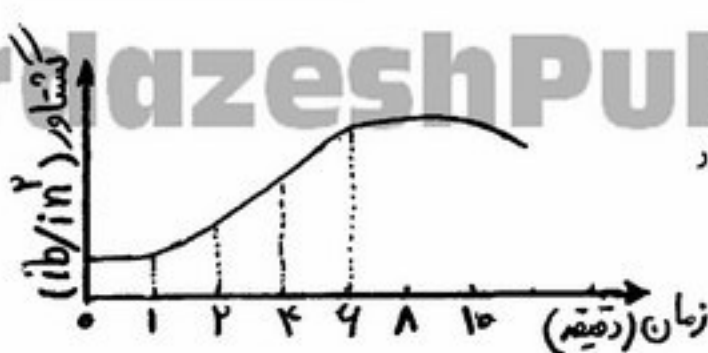
-۷۰- دو گروه آمیزه A و B به ترتیب بر پایه الاستومرهای SBR محلولی و SBR امولسیونی گرم و هر کدام حاوی 40 phr دوده N-۳۳۰ تهیه شده است. یک سیستم ولکانیزه کننده گوگردی از نوع SE (Semi-Efficient) به هر دو اضافه شده و در دمای 160°C ولکانش شده‌اند. چنانچه دانسیته اتصالات (CLD) شبکه ولکانیزاسیونی هر دو یکسان باشد. کدامیک از گزینه‌های زیر صحیح است؟

- ۱) طول عمر فتیگ شبکه $B > A > B$ ، هیستریس $A > B$
۲) طول عمر فتیگ شبکه $B > A > B$ ، هیستریس $B > A$
۳) مقاومت سایشی شبکه $A > B > A$ ، هیستریس $A < B$

-۷۱- کاتوجوی SBR و NR را در نسبت وزنی $\frac{W}{W} = \frac{5}{5}$ تحت فرآیند مکانیکی مذاب با یکدیگر آلیاز نموده و آلیاز حاصل را به طور جداگانه توسط سه سیستم شبکه‌ای کننده متفاوت شامل سیستم پراکسیدی DCP (دی کیومیل پراکسید)، گوگردی از نوع CV و EV در دمای 160°C به صورت فیلم با ضخامت ۲ mm ولکانش نموده‌ایم به طوری که هر آمیزه به 95% ولکانش خود دست یافته است. دانسیته اتصالات (CLD) این سه فیلم به ترتیب $1,400, 2,226, 2,250 \text{ mol.ml}^{-1}$ است. ضریب تراوائی این سه فیلم نسبت به گاز CO_2 در دمای 25°C مطالعه شده است. چنانچه ضریب تراوائی این سه فیلم از رابطه $P = S \times D$ (P = ضریب تراوائی، D = ضریب نفوذ، S = ضریب حلایت) تبعیت نماید. کدام گزینه زیر صحیح است؟

$$\begin{aligned} P(\text{EV}) &> P(\text{CV}) > P(\text{DCP}) \quad (۱) \\ P(\text{EV}) &> P(\text{DCP}) > P(\text{CV}) \quad (۲) \end{aligned}$$

$$\begin{aligned} P(\text{DCP}) &> P(\text{EV})P(\text{CV}) \quad (۳) \\ P(\text{CV}) &> P(\text{EV}) > P(\text{DCP}) \quad (۴) \end{aligned}$$



-۷۲ آمیزه‌ای حاوی شبکه ولکانیزاسیون گوگردی و بر پایه کانوچوی طبیعی (NR) در دمای 15°C تحت فرآیند قالب‌گیری فشاری ولکانیزه شده است. رنگراف این آمیزه درون قالب در شکل نشان داده شده است. چنانچه آمیزه را به طور جداگانه در $\text{SOC} = 4$ (نمونه A) و $\text{SOC} = 6$ (نمونه B) و لکانیزه نمائیم، کدام یک از گزینه‌های زیر صحیح است؟

- ۱) مقاومت فتیگ (B)= مقاومت فتیگ (A) ، هیسترسیس (A)> هیسترسیس (B)
- ۲) مقاومت فتیگ (B) > مقاومت فتیگ (A) ، هیسترسیس (B) > هیسترسیس (A)
- ۳) مقاومت فتیگ (B) < مقاومت فتیگ (A) ، هیسترسیس (B) > هیسترسیس (A)
- ۴) میزان گرمایش نمونه (B) تحت یک میدان دینامیکی و همچنین مقاومت فتیگ آن بیشتر از نمونه (A) می‌باشد.

-۷۳ یک شبکه حاصل از ولکانیزاسیون پراکسیدی الاستومر PDMS به صورتی که در شکل زیر نشان داده شده است در نظر گرفته می‌شود. اگر فاصله انتهای - انتهای هر سگمنت‌های پلیمری موجود بین هر دو نقطه اتصال را قبل و بعد از اعمال نیروی f به ترتیب r_1 و r_2 و تعداد سگمنت‌های موجود در شبکه را که در مقاومت الاستیک آن سهیم می‌باشدند را با (T) نشان دهیم. کدام یک از گزینه‌های زیر نشان دهنده میزان تغییر در انرژی آزاد الاستیک شبکه بعد از اعمال نیروی f در دمای ثابت (T) می‌باشد؟ (رفتار هر سگمنت را شبیه یک زنجیر با اتصال آزاد فرض کرده و تعداد حالات کانفرماتیونی قابل اختیار توسط هر

$$\text{سگمنت از رابطه} \quad w(r) = \left(\frac{r}{r_0} \right)^2 e^{-\frac{r}{r_0}} \quad (1) \quad \text{بدست می‌آید.}$$



$$dA_{\text{elas}} = \frac{3}{2} \nu K T \left(\frac{r}{r_0} \right)^2 \quad (2)$$

$$dA_{\text{elas}} = \frac{3}{2} \nu K T \left(\frac{r}{r_0} - 1 \right) \quad (3)$$

$$dA_{\text{elas}} = \frac{3}{2} \nu K T \left(1 - \frac{r}{r_0} \right) \quad (4)$$

$$dA_{\text{elas}} = \frac{3}{2} \nu K T \left(\frac{r}{r_0} - 1 \right) r \quad (5)$$

-۷۴ در یک فرآیند اکستروژن از نوع تک پیچه، مارپیچ به گونه‌ای طراحی گردیده که تا فاصله‌ای از ابتدای ناحیه سنجش (Metering) (L_1) جریان فشاری مثبت جلوبرنده و از آن فاصله به بعد تا انتهای (L_2) یک جریان فشاری برگشتی برقرار می‌گردد. دای به کار گرفته شده از نوع استوانه‌ای با $\frac{L}{R} = 1$ می‌باشد. اگر فشار در ابتدای ناحیه سنجش برابر 20 bar و در انتهای آن و ابتدای دای برابر 20 bar باشد و T بیان‌کننده مکانی از ناحیه سنجش باشد که در آن مکان جهت جریان فشاری تغییر می‌باید. کدام یک از گزینه‌های زیر صحیح می‌باشد؟

$$\frac{\beta_2}{\mu} \frac{(20 - P_T)}{L_2} = \alpha_r N - \frac{5}{2} \frac{\pi}{\mu} \quad (2)$$

$$\frac{\beta_2}{\mu} \frac{(20 - P_T)}{L_2} = \alpha_r N + \frac{5}{2} \frac{\pi}{\mu} \quad (1)$$

$$\frac{\beta_1}{\mu} \frac{(200 - P_T)}{L_1} + \frac{\beta_2}{\mu} \frac{(20 - P_T)}{L_2} = N(\alpha_r - \alpha_1) \quad (4)$$

$$\frac{\beta_1}{\mu} \frac{(200 + P_T)}{L_1} + \frac{\beta_2}{\mu} \frac{(20 + P_T)}{L_2} = N(\alpha_r - \alpha_1) \quad (5)$$

-۷۵ اگر قرار باشد که با استفاده از یک نوع ترموبلاستیک یک قالب تزریقی مجهز به دو محفظه (Cavity) با حجم‌های نابرابر طراحی گردد، در آن صورت نسبت قطر مجراهای (runners) برای مذاب‌های با رفتار پاورلا ۱ > n به مذاب نیوتونی باید..... انتخاب شود.

(۲) کمتر

(۳) بیشتر

-۷۶ در یک اکسترودر تک پیچه تحت شرایط هم دما از طریق یک دای استوانه‌ای (Circular Die) با ابعاد $R_{dc} = 1$ و $L_{dc} = 6,28$ یک نوع محصول پلیمری تولید می‌گردد. اگر دای فوق با یک دای نواری (Slit Die) با ابعاد $L_{ds} = 10^\circ$ و $w_{ds} = 1^\circ$ و $h_{ds} = 1^\circ$ جایگزین گردد، در آن صورت به منظور دستیابی به یک سرعت تولید یکسان و با فرض

$$\frac{N_2}{N_1} \cdot \frac{\beta}{L} = 0,1$$

نظر گرفتن دیمانسیون بدست آورید.)

(۱۹)
(۱۶)(۱۱)
(۱۳)(۱۶)
(۱۹)(۱۴)
(۱۷)

-۷۷ در اکسترودرهای تک پیچه مجهز به مانع یا ناحیه مخلوط کننده باید به گونه طراحی شود که در آن ایجاد شود.

(۱) فقط یک جریان درگ (drag)

(۲) فقط یک جریان فشاری مشبّت

(۳) یک جریان درگ (drag) و یک جریان فشاری برگشتی

(۴) یک جریان درگ (drag) همراه با یک جریان فشاری مشبّت در جهت دای

-۷۸ در یک فرآیند اکستروژن از نوع تک پیچه که تحت شرایط آدیبااتیک بکار رفته است با دو برابر کردن سرعت چرخش پیچ (N) افزایش دمای ایجاد شده در طول ناحیه سنجش از $\Delta T = \ln 81$ به $\Delta T = \ln 36$ تغییر می‌باید. اگر رفتار مذاب پاورلا (۱) $\eta_i = \eta_i e^{-(T-T_i)}$ باشد و ویسکوزیته مذاب ورودی به ناحیه سنجش برای حالت دوم (η_{i2}) برابر با $\frac{1}{\varphi}$ حالت اول

(۲) $\eta_{i2} = \frac{1}{\varphi} \eta_{i1}$. نسبت دبی‌ها و افت فشار در دو حالت ۱ و ۲ کدام یک از گزینه‌های زیر است؟ (T_i دمای مذاب ورودی به ناحیه سنجش و η_i ویسکوزیته در دمای T_i است)

$$\frac{\Delta P_1}{\Delta P_2} = \frac{7}{15}, \quad \frac{q_2}{q_1} = \frac{7}{16} \quad (۲)$$

$$\frac{\Delta P_1}{\Delta P_2} = \frac{7}{144}, \quad \frac{q_2}{q_1} = \frac{7}{16} \quad (۱)$$

$$\frac{\Delta P_1}{\Delta P_2} = \frac{7}{144}, \quad \frac{q_2}{q_1} = \frac{16}{15} \quad (۴)$$

$$\frac{\Delta P_1}{\Delta P_2} = \frac{16}{15}, \quad \frac{q_2}{q_1} = \frac{15}{16} \quad (۳)$$

-۷۹ کدام یک از روابط زیر برای تخمین نیرو در قالب‌گیری تزریقی قطعات به شکل صفحه (Disk) صحیح است? (P_o = فشار در گیت، m = ثابت، R = شاعع و T = ضخامت)

$$F = \pi R P_o \left(\frac{m}{m+2} \right) \quad (۴) \quad F = \pi R^2 P_o \left(\frac{m}{m-2} \right) \quad (۳) \quad F = \pi R^2 P_o \left(\frac{m}{m+2} \right) \quad (۲) \quad F = T P_o L \left(\frac{m}{m+1} \right) \quad (۱)$$

-۸۰ انواع دای برای شکل‌دهی پلیمرها در اکستروژن شامل نوع T ، دم ماهی، رخت‌آویز و نعل اسپی می‌باشد. توزیع خوب مذاب با استفاده از دای نوع حاصل می‌شود.

(۴) رخت‌آویز

(۳) نعل اسپی

(۲) دم ماهی

(۱) T

(۴) در کدام یک از روش‌های زیر نوخ برش (Z) بترتیب کاهش می‌باید؟

(۱) قالب‌گیری تزریقی، اکستروژن، ورق‌سازی، قالب‌گیری فشاری

(۲) قالب‌گیری تزریقی، اکستروژن، قالب‌گیری فشاری، ورق‌سازی

(۳) قالب‌گیری تزریقی، قالب‌گیری فشاری، اکستروژن، ورق‌سازی

(۴) قالب‌گیری تزریقی، ورق‌سازی، اکستروژن، قالب‌گیری فشاری

-۸۱ یکی از فاکتورهایی که در شکل‌دهی مواد ترموبلاستیک در نظر گرفته می‌شود شاخص ذوب پلیمر (MFI) می‌باشد. اگر پلیمری دارای شاخص ذوب 30° گرم در 10° دقیقه (تحت بار $2,16 \text{ kg}$) باشد. کدام یک از روش‌های شکل‌دهی زیر توصیه می‌شود؟

(۱) اکستروژن فیلم

(۲) اکستروژن بروفیل

(۳) قالب‌گیری تزریقی

(۴) قالب‌گیری چرخشی

-۸۳ یک کامپوزیت حاوی الیاف ناپیوسته اتفاقی با استفاده از الیاف و ماتریس با مشخصات زیر ساخته شده است. مدول کششی (بر حسب GPa) و نسبت پواسان این کامپوزیت به ترتیب چقدر است؟

$$(1) E_m = ۵ \text{ GPa} \quad (2) V_f = ۰,۵ \quad (3) L_C = ۳۱۵ \text{ GPa} \quad (4) E_f = ۴۷,۶۵ \text{ GPa}$$

-۸۴ در یک کامپوزیت حاوی الیاف کربن کوتاه تک جهته با مشخصات موادی زیر، مقدار طول بحرانی لیف چند mm است؟

$$(1) ۰,۰۱ \text{ mm} \quad (2) E_f = ۲۴۰ \text{ GPa} \quad (3) E_m = ۰,۰۱ \text{ mm} \quad (4) \text{ قطر لیف} = ۰,۵ \text{ GPa}$$

$$(1) ۰,۱۲۸ \quad (2) ۰,۳۷۵ \quad (3) ۰,۴۵۰ \quad (4) ۰,۶۲۵$$

-۸۵ ضریب انبساط حرارتی کامپوزیت در جهت طولی الیاف را می‌توان از رابطه زیر محاسبه نمود.

$$\alpha_1 = \frac{E_f V_f \alpha_f + E_m V_m \alpha_m}{E_f V_f + E_m V_m}$$

مقدار کرنش طولی کامپوزیت حاوی الیاف تک جهته / پیوسته وقتی در جهت الیاف در دمای 125°C تحت اثر تنש کششی 1000 MPa قرار می‌گیرد حدود چند درصد است؟

$$(1) ۱,۵ \quad (2) ۲ \quad (3) ۰,۸ \times 10^{-6} \quad (4) \frac{m}{m \cdot ^\circ C}$$

$$\alpha_f = -0,8 \times 10^{-6} \quad \text{ضریب انبساط حرارتی الیاف} \quad 25^{\circ}\text{C} = \text{دمای محیط}$$

$$(1) ۱,۵ \quad (2) ۰,۸ \times 10^{-6} \quad (3) ۲ \quad (4) ۰,۸ \times 10^{-6}$$

-۸۶ برای یک کامپوزیت حاوی الیاف پیوسته و تک جهته کربن در ماتریس اپوکسی داده‌های زیر موجودند برای کسر حجمی الیاف

۵۰ درصد و با صرفنظر از حفره در کامپوزیت مقاومت عرضی کششی این کامپوزیت چند MPa است؟

$$(1) ۱00 \text{ MPa}$$

$$(2) ۲,۵ \text{ GPa}$$

$$(3) ۲۰۰ \text{ GPa}$$

$$(4) ۱۰ \text{ GPa}$$

۲ = فاکتور تمرکز کرنش برای بارگذاری عرضی

$$(1) ۲۵۰ \quad (2) ۱۵۰ \quad (3) ۱۲۰ \quad (4) ۸۰$$

-۸۷ در محاسبات مدول طولی در کامپوزیت‌های حاوی الیاف پیوسته تک جهته، فرض کرنش یکسان در کامپوزیت، الیاف و ماتریس فرض.....

(1) صحیح است.

(2) تنش یکسان صحیح‌تر است.

(3) غلطی است اما برای ساده نمودن محاسبات استفاده می‌شود.

(4) چندان صحیح نیست اما برای ساده نمودن محاسبات استفاده می‌شود.

-۸۸ یک قطعه مکعب از کامپوزیت اپوکسی / شیشه با ضلع ۲ سانتی‌متر، $13,84 \text{ gr}$ وزن دارد. اگر وزن الیاف در کامپوزیت

گرم باشد و دانسیته ماتریس و الیاف به ترتیب $\rho_m = ۱,۲ \frac{\text{gr}}{\text{cm}^3}$ و $\rho_f = ۲,۵ \frac{\text{gr}}{\text{cm}^3}$ باشد، میزان درصد حفره در این قطعه چقدر است؟

$$(1) ۵ \quad (2) ۱۰ \quad (3) ۱,۲ \quad (4) ۲,۴$$

-۸۹ برای ساخت یک کامپوزیت با استفاده از رزین اپوکسی و الیاف شیشه، در دمای محیط کدام‌یک از سخت‌کننده (Hardener) زیر را توصیه می‌کنید؟

(1) آنیدریدی

(2) کاتالیتیک

(3) پلی آمین خطی

(4) پلی آمین حلقوی

-۹۰ در یک کامپوزیت الیاف پیوسته و تک جهته برای آن که بطور همزمان مقاومت کششی بالایی در جهت طولی و عرضی کامپوزیت داشته باشیم استفاده از کدام‌یک از الیاف زیر را توصیه می‌کنید؟

(1) شیشه نوع E

(2) شیشه نوع S

(3) کربن (ساخته شده از ماده اولیه قیری)

(4) کربن (ساخته شده از ماده اولیه قیری)

- ۹۱ با تورم شبکه لاستیکی در یک حلال خوب، تنش لازم برای افزایاد طول معین آن چگونه تغییر می‌کند؟
 ۱) افزایش می‌یابد.
 ۲) کاهش می‌یابد.
 ۳) تغییر نمی‌کند.
 ۴) به مرتبه (Affine) بودن شبکه بستگی دارد.
- ۹۲ احتمال کاهش خود به خود حجم گاز ایده‌آل ناچیز است. معادل این جمله در الاستو默 ایده‌آل چیست?
 ۱) احتمال افزایش طول خود به خود یک نوار لاستیکی ناچیز است.
 ۲) احتمال انقباض حجم خود به خود یک نوار لاستیکی ناچیز است.
 ۳) احتمال انقباض طول خود به خود یک نوار لاستیکی ناچیز است.
 ۴) احتمال انقباض سطح خود به خود یک نوار لاستیکی ناچیز است.
- ۹۳ تفاوت تک لایه (Lamellae) بلور یک پلیمر تهیه شده از محلول رقیق و مذاب از نظر نظم در تاه خوردگی و ضخامت چیست?
 ۱) تک لایه مذاب منظم‌تر و نازک‌تر است.
 ۲) تک لایه مذاب منظم‌تر و ضخیم‌تر است.
 ۳) تک لایه مذاب بی‌نظم‌تر و ضخیم‌تر است.
- ۹۴ در صورت صحت دو رابطه $\tau = \frac{2R_g^2}{\pi^2 D}$ و $M \sim \tau$ که R_g و D بترتیب زمان آسودگی، جرم مولکولی، ساعت زیراپسیون و ضریب نفوذ پلیمر می‌باشند، ماهیت فیزیکی ضریب تناسب زمان آسودگی بر حسب M چیست?
 ۱) ساعت زیراپسیون
 ۲) ضریب سختی زنجیر
 ۳) عکس ضریب نفوذ
 ۴) شاعر زیراپسیون به توان ۲ اگر منومر سازنده دو پلیمر با دمای انتقال شیشه‌ای 270°C و 770°C به ترتیب با 20° و 70° درصد وزنی بصورت تصادفی کوپلیمریزه شوند، دمای تخمینی انتقال شیشه‌ای کوپلیمر چند $^\circ\text{C}$ خواهد بود؟ (وزن مولکولی کوپلیمر چندین برابر آستانه گره خوردگی زنجیره است)
- ۹۵ (۱) 50°C
 (۲) 52°C
 (۳) 60°C
 (۴) 70°C
- ۹۶ اگر ترکیب درصد دو فاز هم زیست (Binodal) با افزایش دما از یکدیگر دور شوند، نوع سامانه از نظر ترمودینامیکی چیست?
 اثر افزایش فشار بر این سامانه در دمای ثابت چیست?
 ۱) LCST، کاهش سازگاری
 ۲) افزایش سازگاری
 ۳) UCST، کاهش یا افزایش سازگاری
 ۴) افزایش سازگاری
- ۹۷ در صورت تساوی کشش سطحی ذرات یک پرکننده معدنی و کشش سطحی یک پلیمر، راجع به تغییر آنتالپی اختلاط آن دو و احتمال خیس شدن ذره با پلیمر چه می‌توان گفت?
 ۱) $\Delta H = 0$ و پلیمر حتماً ذرات را خیس می‌کند.
 ۲) $\Delta H = 0$ و پلیمر حتماً ذرات را خیس نمی‌کند.
 ۳) $\Delta H = 0$ ولی پلیمر لزوماً ذرات را خیس نمی‌کند.
 ۴) $\Delta H = 0$ ولی خیس کردن ذرات به آن ارتباط ندارد.
- ۹۸ اگر محلول رقیق پلی (اتیل اکریلات) و تری نیترو و سلولوز با توزیع وزن مولکولی باریک در آستان در یک زمان از دستگاه GPC خارج شوند، وزن مولکولی پلی (اتیل اکریلات) چند برابر تری نیتروسلولوز است. K پلی (اتیل اکریلات) و نیتروسلولوز بترتیب 49 هزارم و 7 هزارم در صورتی که a هر دو پلیمر 1 فرض می‌شود؟
- ۹۹ (۱) $0,007$
 (۲) $\sqrt{0,007}$
 (۳) $\sqrt[3]{0,007}$
 (۴) $\sqrt[7]{0,007}$
- ۱۰۰ اگر در وزن مولکولی ثابت، گرانروی ذاتی محلول یک پلیمر دو برابر شود، ساعت هیدرودینامیکی زنجیر پلیمر چند برابر خواهد شد?
 اگر با افزایش نظم محوری زنجیر پلیمر وینیلی هنوز قوانین ماربیچ تصادفی بر آن حاکم باشد، کدام متغیر مؤثر زنجیر تغییر می‌نماید?
 ۱) درجه پلیمریزاسیون
 ۲) ضریب سختی زنجیر
 ۳) مکانیسمی در نقطه تسلیم پلیمرها اتفاق می‌افتد؟
 ۴) تعداد اتصالات کربن - کربن
- ۱۰۱ (۱) افزایش حجم آزاد
 ۲) افزایش حجم آزاد و کاهش T_g و تشکیل CraZe
 ۳) افزایش حجم آزاد و کاهش T_g و تشکیل CraZe
 ۴) چرخش آزادانه سیگمنت‌های پلیمری در اثر اعمال تنش
- ۱۰۲ کدام رابطه نسبت کشش طبیعی (draw-Ratio) با عوامل زیر صحیح است?
 ۱) با افزایش دما افزایش می‌یابد.
 ۲) با افزایش دما کاهش می‌یابد.
 ۳) با افزایش سرعت آزمایش کاهش می‌یابد.
 ۴) با افزایش سرعت آزمایش و جرم ملکولی افزایش می‌یابد.
- ۱۰۳ عمل Annealing باعث افزایش می‌شود.
- ۱۰۴ (۱) مدول پلیمر
 ۲) دانسته پلیمرهای آمورف
 ۳) مدول و تنش تسلیم پلیمر
 ۴) نقطه سیالیت پلیمر آمورف کدامیک از دسته عوامل ذیل باعث افزایش دمای T_g در پلیمر می‌گردد؟
- ۱۰۵ (۱) افزایش فشار بر نمونه و کاهش زمان اعمال نیرو
 ۲) افزایش فشار بر نمونه و افزایش فرم کننده به پلیمر
 ۳) افزایش نرم کننده به پلیمر و کاهش زمان اعمال نیرو
 ۴) کاهش فشار بر نمونه و کاهش زمان اعمال نیرو

-۱۰۵ افزودن یک الاستومر به یک پلاستیک شکننده باعث چقلمگی این پلاستیک می‌شود، تئوری‌های جدید مکانیسم این پدیده را چگونه توجیه می‌کنند؟

- (۱) انرژی وارد شده با تغییر فرم ذره لاستیکی مستهلك می‌شود.
- (۲) نسبت پوآسان بالاتر لاستیک نسبت به پلاستیک باعث این امر می‌باشد.
- (۳) ذره الاستومر باعث کاهش T_g ماتریس در اطراف ذره می‌شود و ماتریس مانند یک لاستیک عمل می‌نماید.
- (۴) از دیاد طول در نقطه شکست لاستیک در مقایسه با پلاستیک بسیار بیشتر بوده و همین امر باعث چقلمگی پلاستیک می‌شود.

-۱۰۶ مقاومت ضربه‌ای کدام‌یک از مواد پلیمری زیر در دمای اطاق (23°C) بیشتر است؟
(اگر T_g پلی‌پروپیلن 18°C ، T_g پلی‌اتیلن سبک 126°C ، T_g پلی‌اتیلن سنگین 126°C و T_g پلی‌اتیلن با دانسیته متوسط 126°C باشد.)

- (۱) پلی‌پروپیلن (PP)
- (۲) پلی‌اتیلن سبک (LDPE)
- (۳) پلی‌اتیلن با دانسیته متوسط (MDPE)

-۱۰۷ کدام‌یک از روابط زیر صحیح است؟ (σ = تنش مهندسی، ϵ_1 = تنش واقعی و ϵ = کرنش مهندسی)

$$\sigma_t = \sigma(1 + \epsilon) \quad (۱) \quad \sigma = \sigma_1(1 + \epsilon) \quad (۲) \quad \frac{\sigma_t}{\sigma} = 1 - \epsilon \quad (۳) \quad \frac{\sigma}{\sigma_t} = 1 - \epsilon \quad (۴)$$

-۱۰۸ سختی در پلیمرها توسط سه روش مقاومت به نفوذ، جهندگی و مقاومت به خراش اندازه‌گیری می‌شود. سختی پلیمرها در مقیاس موه (Mohs) در حدود چه مقداری است؟

- (۱) ۲ - ۳
- (۲) ۴ - ۵
- (۳) ۵ - ۶
- (۴) ۷ - ۸

-۱۰۹ اشتعال پذیری (flammability) یکی از خواص فیزیکی پلیمر است. در آزمون حداقل اندیس (نمایه) اکسیژن (Limiting oxygen index)، این نمایه هر قدر بیشتر باشد، پلیمر

- (۱) اشتعال پذیرتر است.
- (۲) آهسته‌تر می‌سوزد.
- (۳) خود خاموش‌کنتر است.
- (۴) بسیار اشتعال پذیرتر است.

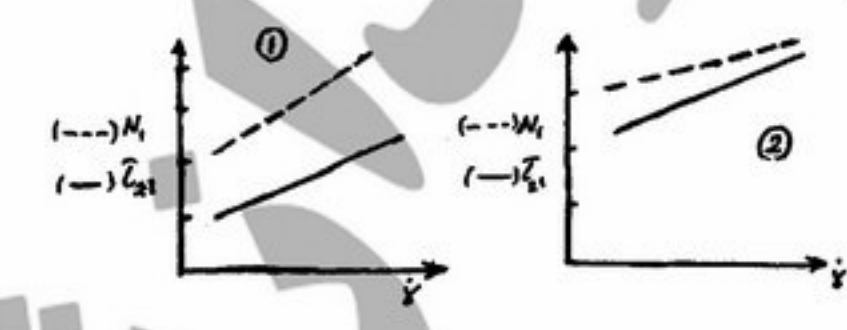
-۱۱۰ کدام‌یک از روابط زیر نشان‌دهنده‌ی رابط Hencky برای کرنش می‌باشد? (L = طول نهایی نمونه و L_0 = طول اولیه نمونه)

$$\epsilon = \frac{1}{2} \left[1 - \left(\frac{L_0}{L} \right)^2 \right] \quad (۱) \quad \epsilon = \frac{1}{2} \left[\left(\frac{L}{L_0} \right)^2 - 1 \right] \quad (۲) \quad \epsilon = \frac{L - L_0}{L} \quad (۳) \quad \epsilon = \ln \frac{L}{L_0} \quad (۴)$$

پدیده‌های انتقال (رنولوژی - حرارت - جرم)

-۱۱۱ منحنی جریان دو مذاب پلیمری در پنجره عملیاتی فرآیندی برای تهییه ورق در شکل مقابل نشان داده شده است.

کدام یک تورم دای (Die swell) بیشتری دارد؟



(۱) پلیمر ۱

(۲) پلیمر ۲

(۳) بستگی به سرعت برش دارد

(۴) رفتار ویسکوالاستیک خطی (G', G'') مورد نیاز می‌باشد

-۱۱۲ در یک فرآیند ریسنگی مذاب برای یک سیال پلیمری تنسور گرادیان سرعت در ناحیه خارج از Die در مختصات کارتزین به صورت زیر می‌باشد، در این صورت سرعت کشش چقدر است؟

$$\nabla V = \begin{bmatrix} -1 & 0 & 0 \\ 0 & -1 & 0 \\ 0 & 0 & 2 \end{bmatrix}$$

۲ (۴)

۱,۷۳ (۳)

۱ (۲)

۰,۸۷ (۱)

-۱۱۳ اطلاعات زیر برای یک مذاب پلیمری HDPE با استفاده از یک رنگونیومتر با زاویه $\theta_C = 3^\circ$ داده شده است. چنانچه $\Omega = ۰/۱۱ \text{ rad/sec}$ باشند. اختلاف تنفس نرمال نوع اول N_1 و سرعت برش $\dot{\gamma}$ به ترتیب چند Sec^{-1} و Pa می‌باشند؟

۶,۶ (۴)

۰,۰۳۷ ، ۲۲۶/۴ (۳)

۱ (۲)

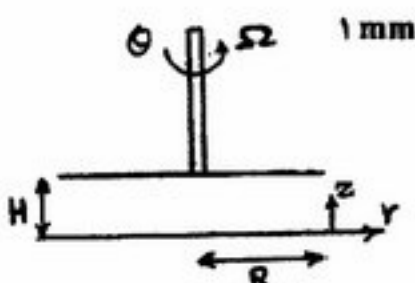
۰,۰۳۷ ، ۱۱۸/۳ (۱)

۱۱۸/۳ (۱)

-۱۱۴ در یک ویسکومتر با صفحات موازی مطابق شکل چنانچه فاصله بین دو صفحه 1 mm و معادله پیوستگی

$$\frac{1}{r} \frac{\partial(rV_r)}{\partial r} + \frac{1}{r} \frac{\partial V_\theta}{\partial \theta} + \frac{\partial V_z}{\partial z} = 0$$

باشد در آن صورت V_θ و V_z به ترتیب برابر خواهند بود.



$$\frac{r\Omega z}{H}, \Omega \frac{r}{H} (۱)$$

$$\Omega r \frac{z}{H}, \frac{\Omega}{H} (۱)$$

$$\Omega(1 - \frac{z}{H}), \frac{\Omega}{H} (۴)$$

$$\Omega(r - \frac{z}{H}), \Omega \frac{r}{H} (۱)$$

-۱۱۵ در یک سوسپانسیون با تغییر شکل فیلر از صفحه‌ای به کروی، در یک ترکیب درصد ثابت، ویسکوزیته و احتمال تشکیل ساختار شبکه‌ای می‌باشد.

(۴) کاهش - افزایش

(۳) کاهش - کاهش

(۲) افزایش - افزایش

-۱۱۶ یک سیال پاورلا از یک مسیر مخروطی شکل با $\frac{R_1}{R_2} = ۶$ عبور می‌کند. اختلاف ویسکوزیته در ناحیه ورودی و خروجی با کاهش n پاورلا چگونه تغییر می‌کند؟

(۲) کاهش می‌باشد.

(۳) ویسکوزیته در دو انتهای مسیر یکسان است.

-۱۱۷ یک فیلم از جنس لاتکس که رفتار آن از مدل بینگهام پلاستیک تابعیت می‌کند بر روی یک سطح شیبدار مطابق شکل زیر به کار برده شده است. در صورتی که تنفس تسلیم $\mu_p = ۱۰ \text{ Pa.Sec}$, $\tau_y = ۱ \text{ Pa}$ باشد، حداقل ضخامت فیلم با فرض چکه

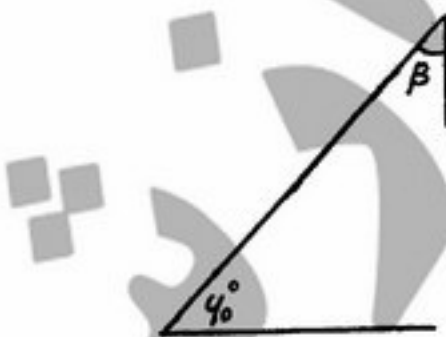
$$\text{نگردن سیال با دانسیته } 1000 \frac{\text{kg}}{\text{m}^3} \text{ چند متر است؟}$$

$$1,76 \times 10^{-4} (۱)$$

$$1,02 \times 10^{-3} (۲)$$

$$1,178 \times 10^{-3} (۳)$$

$$2,04 \times 10^{-3} (۴)$$



-۱۱۸ یک کانال با مقطع مربعی مطابق شکل زیر که از داخل آن هوا با سرعت $\frac{m}{S}$ عبور می‌کند در نظر بگیرید. اگر دمای سطح این کانال T_S فرض شود و هوای اطراف این کانال دمای T_∞ را دارد باشد با فرض اینکه ضریب انتقال حرارت هوای اطراف h و همچنین دمای دیوارهای اطراف این کانال نیز T_0 باشد دمای هوای خروجی از این کانال کدامیک از گزینه‌های زیر است؟

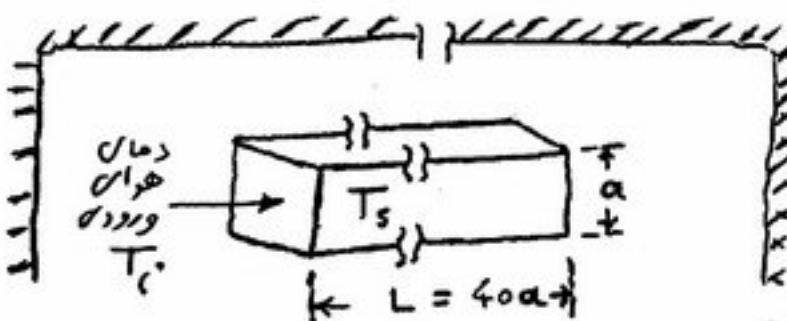
$$(T_S > T_\infty, p = \frac{kg}{m^3} \text{ هوا}, C_p = 1000) \quad (T_0 = T_i + \frac{h(T_S - T_\infty) + \epsilon\sigma(T_S^4 - T_\infty^4)}{100})$$

$$T_0 = T_i - \frac{h(T_S - T_\infty) + \epsilon\sigma(T_S^4 - T_\infty^4)}{100} \quad (1)$$

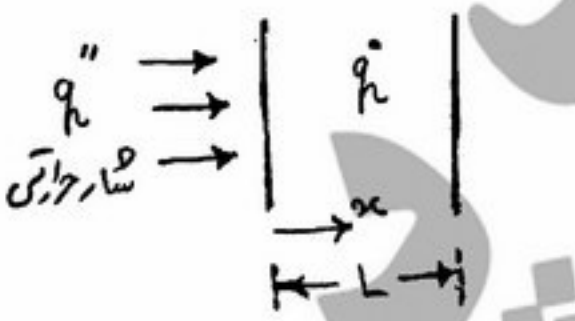
$$T_0 = T_i - \frac{h(T_S - T_\infty) + \epsilon\sigma(T_S^4 - T_\infty^4)}{400} \quad (2)$$

$$T_0 = T_i + \frac{h(T_S - T_\infty) + \epsilon\sigma(T_S^4 - T_\infty^4)}{1000} \quad (3)$$

$$T_0 = T_i + \frac{h(T_S - T_\infty) + \epsilon\sigma(T_S^4 - T_\infty^4)}{4000} \quad (4)$$



-۱۱۹ دیواری به ضخامت L و ضریب هدایت حرارتی K را مطابق شکل زیر در نظر بگیرید. توزیع دما در این دیوار می‌باشد $T(x) = -10e^{-ax} + 20x + 30$. اگر این دیوار در معرض تشعشع بافلaks (شار) حرارتی $q''(\frac{W}{m^2})$ باشد و این شار برابر با تولید حرارت $(\frac{W}{m^2})$ درون دیوار باشد. کدامیک از عبارات زیر در مورد شار حرارتی صحیح است؟ (سیستم را پایا در نظر بگیرید)



$$q'' = \frac{-2(1 + e^{-aL})}{5K} \quad (1)$$

$$q'' = -10Ka(e^{-aL} - 1) \quad (2)$$

$$q'' = 5Ka(1 - e^{-aL}) \quad (3)$$

$$q'' = 15Ke^{-aL}(1 - a) \quad (4)$$

-۱۲۰ یک مخزن کروی به قطر داخلی d_1 و قطر خارجی d_2 با ضریب هدایت حرارت $K = 15 \frac{W}{m \cdot ^\circ C}$ را در نظر بگیرید. سطح داخلی این مخزن $T_{S1} = -60^\circ C$ و سطح خارجی آن $T_{S2} = 0^\circ C$ می‌باشد. در اطراف این پوسته سیالی به دمای $T_\infty = 45^\circ C$ قرار دارد. با فرض اینکه $d_1 = 2m$ باشد، ضخامت دیواره این مخزن چند متر است؟

$$h = 10 \frac{W}{m^2 \cdot ^\circ C} \quad (1)$$

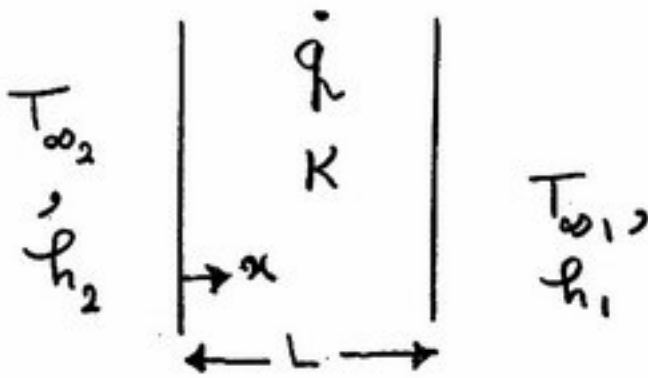
۲ (۴)

۱ (۳)

۰,۵ (۲)

۰,۱ (۱)

-۱۲۱ دیواری به ضخامت $L = 1\text{ m}$ و $K = \frac{W}{m \cdot ^\circ C}$ با تولید حرارت یکنواخت (\dot{q}) را در نظر بگیرید. فسریب جایجایی انتقال حرارت در سمت راست این دیواره $T_{\infty 1} = 1 \frac{W}{m^2 \cdot ^\circ C}$ است. برای آن که انتقال حرارت از سطح سمت چپ صفر باشد کدام یک از روابط زیر صحیح است؟ (حالت پایا)



$$T_{\infty 2} = T_{\infty 1} + \frac{1}{\lambda} \dot{q} \quad (1)$$

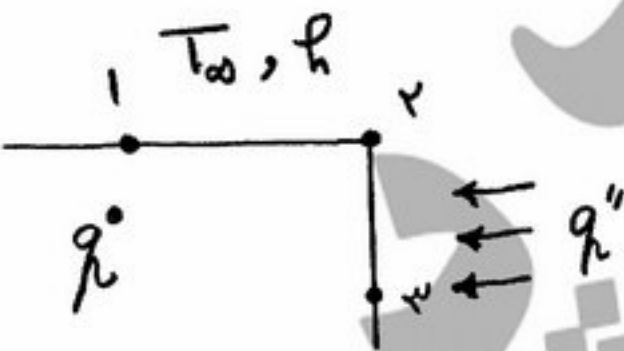
$$T_{\infty 2} = T_{\infty 1} + \frac{1}{\lambda} \dot{q} \quad (2)$$

$$T_{\infty 2} = T_{\infty 1} + \dot{q} \quad (3)$$

$$T_{\infty 2} = T_{\infty 1} + \frac{\lambda}{\dot{q}} \quad (4)$$

-۱۲۲ شبکه دو بعدی زیر را در نظر بگیرید. این شبکه از یک طرف در معرض شار حرارتی $\dot{q}'' = 5000 \frac{W}{m^2}$ و از طرف دیگر در $T_r = 12^\circ C$ و $T_1 = 9^\circ C$ قرار دارد. اگر دمای $h = 100 \frac{W}{m^2 \cdot ^\circ C}$ و $T_\infty = 20^\circ C$ باشد و همچنین حرارت با نوخ $\Delta x = \Delta y = 0.1\text{ m}$ باشد و همچنین $\dot{q} = 4 \times 10^6 \frac{W}{m^2}$ در آن تولید شود، دمای گره ۲ در حالت پایا حدود چند $^\circ C$ است؟

$$(\Delta x = \Delta y = 0.1\text{ m}, K = 10 \frac{W}{m \cdot ^\circ C})$$



۹۵ (۱)

۱۰۷ (۲)

۱۱۳ (۳)

۱۲۱ (۴)

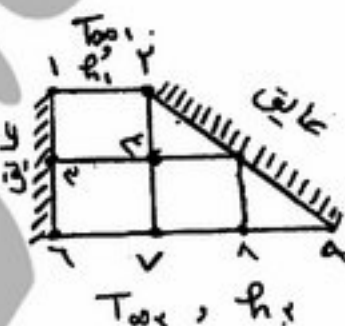
-۱۲۳ شبکه دو بعدی زیر را در نظر بگیرید. با فرض اینکه $T_{\infty 1} = 20^\circ C$ و $K = 1 \frac{W}{m \cdot ^\circ C}$ و $h_1 = 100 \frac{W}{m^2 \cdot ^\circ C}$ باشد و $T_r = 5^\circ C$ و $T_1 = 6^\circ C$ باشد و ضمناً $\Delta x = \Delta y = 0.1\text{ m}$ باشد و همچنین $\dot{q} = 5000 \frac{W}{m^2}$ در حالت پایا چند $^\circ C$ است؟

۴۰ (۱)

۴۵ (۲)

۵۰ (۳)

۵۵ (۴)



-۱۲۴ در یک ستون پرشده که فاز گاز و مایع در آن جریان دارد، ارتفاع واحد انتقال در فاز گاز چگونه تعریف می‌شود؟

$$N_G = \int_{y_2}^{y_1} \frac{dy}{y^* - y} \quad (۱)$$

$$N_G = \int_{y_2}^{y_1} \frac{dy}{y - y^*} \quad (۲)$$

$$N_G = \int_{y_2}^{y_1} \frac{dy}{y - y^*} \quad (۱)$$

$$N_G = \int_{y_2}^{y_1} \frac{dy}{y - y^*} \quad (۳)$$

-۱۲۵ ماده A داخل محیطی استوانه‌ای به صورت شعاعی نفوذ کرده و طی یک واکنش درجه اول مصرف می‌شود. شرایط مرزی این مسئله چگونه است؟

$$\begin{aligned} \text{at } r = 0 & \quad C_A = 0 \\ \text{at } r = R & \quad C_A = C_R \end{aligned} \quad (۱)$$

$$\begin{aligned} \text{at } r = 0 & \quad C_A = C_0 \\ \text{at } r = R & \quad dC_A/dr = 0 \end{aligned} \quad (۲)$$

$$\begin{aligned} \text{at } r = 0 & \quad C_A = C_0 \\ \text{at } r = R & \quad C_A = C_R \end{aligned} \quad (۱)$$

$$\begin{aligned} \text{at } r = 0 & \quad dC_A/dr = 0 \\ \text{at } r = R & \quad C_A = C_R \end{aligned} \quad (۳)$$

-۱۲۶ کدام گزینه زیر در مورد تعریف تراوایی صحیح است؟

(۱) شار حجمی بخار عبوری از واحد سطح فیلمی که در اختلاف فشار یک اتمسفر قرار دارد.

(۲) شار جرمی بخار عبوری از سطح فیلمی به ضخامت معین که در اختلاف رطوبت نسبی ۱٪ قرار دارد.

(۳) شار جرمی بخار عبوری از سطح فیلمی به ضخامت یک سانتی متر که در اختلاف فشار یک اتمسفر قرار دارد.

(۴) شار حجمی بخار عبوری از واحد سطح فیلمی به ضخامت یک سانتی متر که در اختلاف فشار یک اتمسفر قرار دارد اساس تئوری فیلمی هیدرولیکی و غلظتی بر چه پایه‌ای استوار است؟

(۱) در نزدیکی سطح میدان سرعت و غلظت خطی در نظر گرفته می‌شوند.

(۲) در نزدیکی سطح میدان سرعت و غلظت درجه ۲ در نظر گرفته می‌شوند.

(۳) در نزدیکی سطح میدان سرعت درجه ۲ و میدان غلظت خطی در نظر گرفته می‌شوند.

(۴) در نزدیکی سطح میدان سرعت خطی و میدان غلظت درجه ۲ در نظر گرفته می‌شوند.

-۱۲۷ یک سطح قائم در تماس با جریان پوسته‌ای از مایع ریزان قرار دارد، تبخیر اجزای فعال در فصل مشترک مایع- هوا رخ

می‌دهد. با توجه به اینکه می‌دانیم پروفایل سرعت سیال در جهت جریان معادل $V_x = \frac{\rho g \delta^r}{2\mu} [1 - (\frac{y}{\delta})^2]$ است معادله دیفرانسیل بیانگر این سیستم چگونه است؟

$$\frac{\rho g \delta^r}{2\mu} [1 - (\frac{y}{\delta})^2] \frac{\partial C_A}{\partial x} = D_{AB} \frac{\partial^r C_A}{\partial x^r} \quad (۱)$$

$$\frac{\rho g \delta^r}{2\mu} \frac{\partial C_A}{\partial x} = D_{AB} \frac{\partial^r C_A}{\partial x^r} \quad (۱)$$

$$\frac{\rho g \delta^r}{2\mu} [1 - (\frac{y}{\delta})^2] \frac{\partial C_A}{\partial x} = D_{AB} \left[\frac{\partial^r C_A}{\partial x^r} + \frac{\partial^r C_A}{\partial y^r} \right] \quad (۲)$$

$$\frac{\rho g \delta^r}{2\mu} \frac{\partial C_A}{\partial x} = D_{AB} \left[\frac{\partial^r C_A}{\partial x^r} + \frac{\partial^r C_A}{\partial y^r} \right] \quad (۲)$$

-۱۲۹ در جریان سیالی ماده A در حال نفوذ است. عدد اشمت و پکله در این سیستم به ترتیب ۱۰ و ۲۵۰ است. مقدار عدد رینولدز چقدر است؟

(۱) ۱۰۰

(۲) ۱۳۰

(۳) ۴۰

(۴) ۲۵

-۱۳۰ پروفایل غلظت در یک ماده نفوذ کننده در فصل مشترک گاز مایع موجود است. در چه شرایطی این پروفایل بدست می‌آید؟

۲۴

(۱) ماده حل شده از فاز گاز جدا شده و به فاز مایع می‌رود.

(۲) ماده حل شده از فاز مایع جدا شده و به فاز گاز می‌رود.

(۳) ماده حل شده از دو فاز جذب فصل مشترک می‌شود.

(۴) واکنشی در فصل مشترک روی داده و اجزاء حاصل در دو فاز منتشر می‌شوند.

-۱۳۱ در یک دماسنگ جیوه‌ای، ظرفیت گرمائی جیوه تابع دما به شکل $C = a + bT$ می‌باشد. دمای دماسنگ در حالت پایا T_s است. کدام گزینه ثابت زمانی دماسنگ است؟

$$\tau = \frac{m(a + 2bT)}{hA} \quad (۱) \quad \tau = \frac{m(a + 7bT_s)}{hA} \quad (۲) \quad \tau = \frac{m(a + bT)}{hA} \quad (۳) \quad \tau = \frac{m(a + bT_s)}{hA} \quad (۴)$$

-۱۳۲ دو تانک ارتفاع به صورت با اثر متقابل سری می‌باشند. بهره تابع تبدیل $\frac{H_1(s)}{Q(s)}$ کدام گزینه است؟ R_1 و R_2 بترتیب مقاومت شیر در تانک اول و دوم می‌باشند.

$$R_1 + R_2 \quad (۱) \quad R_1 R_2 \quad (۲) \quad R_2 \quad (۳) \quad R_1 \quad (۴)$$

-۱۳۳ رابطه دبی گذرنده از یک شیر کنترل $q = C_v(i - f)\sqrt{p}$ می‌باشد. ثابت زمانی شیر بسیار کم است. C_v ثابت شیر، i جریان فرمان به شیر و p فشار در بالادست شیر است. در کنترل خطی رابطه دبی با ورودی‌ها توسط کدام گزینه داده می‌شود؟ $(Q = q - q_s ; I = i - i_s ; P = p - p_s)$

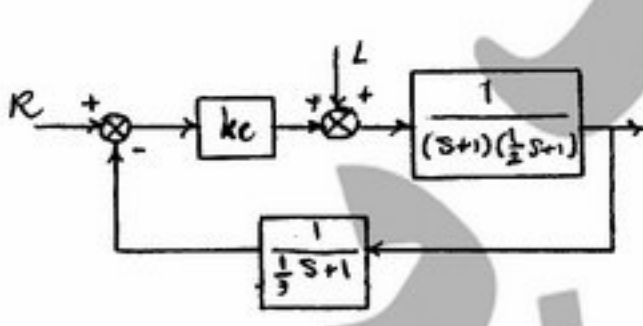
$$Q(s) = \frac{C_v(i - f)}{\sqrt{p_s}} P(s) \quad (۱) \quad Q(s) = C_v \sqrt{p_s} I(s) \quad (۲)$$

$$Q(s) = C_v \sqrt{p_s} I(s) + \frac{C_v(i_s - f)}{\sqrt{p_s}} P(s) \quad (۳) \quad Q(s) = C_v(I(s) - f)\sqrt{P(s)} \quad (۴)$$

-۱۳۴ هر گزینه تابع تبدیل حلقه باز یک سیستم کنترلی را می‌دهد. پاسخ پله کدام گزینه دارای خطای ماندگار (افت کنترلی صفر است؟)

$$\frac{k_c}{s^r + 2s^r + 2s + 1} \quad (۱) \quad \frac{k_c}{s^r + 2s + 2} \quad (۲) \quad \frac{k_c}{s^r + 2s^r + 2s} \quad (۳) \quad \frac{k_c}{s^r + 2s + 1} \quad (۴)$$

-۱۳۵ در سیستم کنترلی زیر خطای ماندگار در حالت رکولاتوری کدام گزینه است؟



$$\begin{aligned} & \frac{1}{1+k_c} & (۱) \\ & -\frac{1}{1+k_c} & (۲) \\ & \frac{k_c}{1+k_c} & (۳) \\ & -\frac{k_c}{1+k_c} & (۴) \end{aligned}$$

-۱۳۶ در سیستم کنترلی سؤال ۱۳۵ محدوده پایداری k_c کدام گزینه است؟ (۱) همواره پایدار است.

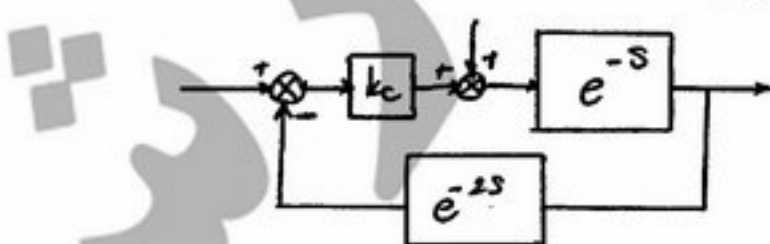
$$0 < k_c < 10 \quad (۲) \quad 10 < k_c < 10 \quad (۳) \quad 0 < k_c < 1 \quad (۴)$$

-۱۳۷ برای سیستم کنترلی سؤال ۱۳۵ با استفاده از روش کوهن - گن (Cohen-Coon) یک کنترلر تناسبی طراحی کنید. کدام گزینه صحیح است؟

$$(k_c = \frac{1}{k_p} \frac{T_d}{T_d + \frac{1}{3T}}) \quad (۱) \quad (k_c = \frac{1}{k_p} \frac{T_d}{T_d + \frac{1}{3T}}) \quad (۲)$$

$$\approx 1/25 \quad (۱) \quad \approx 1 \quad (۲) \quad \approx 0.58 \quad (۳) \quad \approx 2/5 \quad (۴)$$

-۱۳۸ محدوده پایداری k_c در سیستم کنترلی زیر کدام گزینه است؟



$$\begin{aligned} & 0 < k_c & (۱) \\ & 0 < k_c < 1 & (۲) \\ & 0 < k_c < \frac{\pi}{3} & (۳) \\ & 1 < k_c < \frac{\pi}{3} & (۴) \end{aligned}$$

- ۱۳۹- تابع تبدیل حلقه باز یک سیستم $G_{OP}(s) = \frac{6k_c(1 + \frac{1}{\tau_1 s})}{s(s+1)(s+2)(s+3)}$ است. کدام گزینه محدوده پایداری بزرگتری برای k_c دارد؟

$$\frac{1}{2} < \tau_1 < 1 \quad (۴)$$

$$\frac{1}{3} < \tau_1 < \frac{1}{2} \quad (۳)$$

$$\tau_1 < \frac{1}{3} \quad (۲)$$

$$\tau_1 > 1 \quad (۱)$$

- ۱۴۰- مدل دینامیکی یک سیستم $\begin{cases} \dot{x} = Ax + B \\ y = Cx \end{cases}$ است. با $X = \begin{pmatrix} 0 & 0 \\ 0 & 1 \end{pmatrix}$ ماتریس تبدیل این سیستم کدام گزینه زیر است؟

$$C(SI - A)^{-1}B \quad (۴)$$

$$C(SI - A)^{-1} \quad (۳)$$

$$(SI - A)^{-1}B \quad (۲)$$

$$(SI - A)B \quad (۱)$$

مکانیک سیالات

- ۱۴۱- یک تانک که داخل آن مایعی به ارتفاع h وجود دارد دارای یک ورودی به میزان $Q = \frac{m^2}{s}$ است. این تانک یک خروجی از طریق یک لوله با قطر $3m$ می‌باشد. در صورتی که سرعت در لوله خروجی $\sqrt{2gh}$ باشد. عمق تعادلی مایع در این تانک (h) چند m است؟ (عدد π را معادل ۳ و g را معادل $10 \frac{m}{sec^2}$ در نظر بگیرید).

$$6.62 \quad (۴)$$

$$1.65 \quad (۳)$$

$$0.82 \quad (۲)$$

$$0.5 \quad (۱)$$

- ۱۴۲- در صورتی که آب اقیانوس را تراکم پذیر در نظر بگیریم، چه رابطه‌ای بین دانسته آب اقیانوس در سطح و در اعمق اقیانوس برقرار خواهد بود؟ k مدول توده الاستیک (Bulk Modulus of Elasticity) آب می‌باشد؟

$$\frac{1}{\rho_0} = \frac{1}{\rho} + \frac{gz}{k} \quad (۴)$$

$$\frac{1}{\rho_0} = \frac{1}{\rho} + \frac{k}{gz} \quad (۳)$$

$$\rho = \rho_0 + \frac{gz}{k} \quad (۲)$$

$$\rho = \rho_0 + \frac{k}{gz} \quad (۱)$$

- ۱۴۳- شکل مقابل، دیواره یک سد را نشان می‌دهد. در صورتی که ارتفاع کل آب $(h_1 + h_2)$ معادل ۱۷ متر باشد.

نیروی کل واردہ بر دیوار به ازای یک متر از دیواره سد

$$\text{چند } kN \text{ است؟ (} g \text{ را معادل } 10 \frac{m}{sec^2} \text{ بگیرید).}$$

$$810 \quad (۱)$$

$$954 \quad (۲)$$

$$1594 \quad (۳)$$

$$3190 \quad (۴)$$



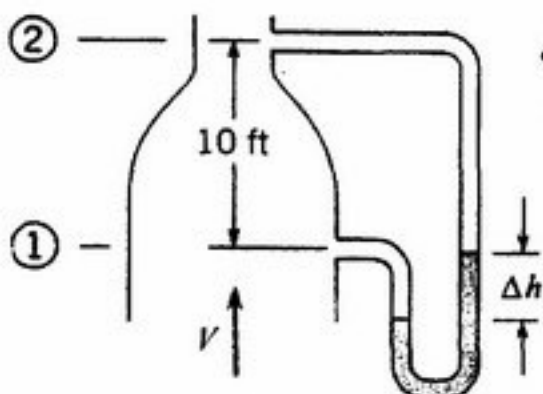
-۱۴۴

هوای با دانسیته تقریبی $\frac{\text{kg}}{\text{m}^3}$ در داخل کاتال عمودی شکل مقابل به سمت بالا جریان دارد، سرعت در سطح مقطع ورودی (۱) برابر

$$30 \frac{\text{m}}{\text{s}}$$

و نسبت مساحتها $\frac{A_2}{A_1}$ معادل 5° است. در صورتی که اختلاف ارتفاع دو نقطه ۱ و ۲ معادل 10 ft باشد. مقدار خوانده شده توسط مانومتر (Δh) چند متر می‌باشد؟ (چگالی ویژه سیال مانومتری معادل ۲ است).

- (۱) ۰,۰۶۷
(۲) ۰,۱۲۴
(۳) ۰,۶۸
(۴) ۱,۳۶



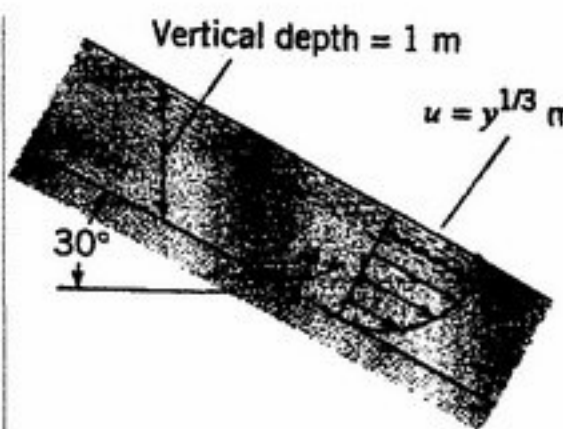
-۱۴۵

کاتال با سطح مقطع مریخ مستطیل مقابله به عرض 2m را در نظر بگیرید.

معادله سرعت موضعی به صورت $u = y^{1/3} \frac{\text{m}}{\text{s}}$ داده شده است.

دبی جریان چند $\frac{\text{m}^2}{\text{s}}$ است؟

- (۱) ۰,۸۶۶
(۲) ۱,۲۴
(۳) ۱,۷۳
(۴) ۲



-۱۴۶

در جریان توسعه یافته و پایا و لامینار یک سیال نیوتونی در داخل لوله، نیروی واردہ از طرف سیال به دیوار به طول L و قطر R از چه رابطه‌ای بدست می‌آید؟

$$4\pi \frac{R^7}{L} \mu u \quad (۱)$$

$$\frac{4\mu u}{R} \quad (۲)$$

$$8\pi \mu L u \quad (۳)$$

$$4\pi \mu L u \quad (۴)$$

-۱۴۷

در مورد پمپ‌های سانتریفیوز موقعیت شیر فشارشکن (throttling valve) چگونه باید انتخاب شود؟

- (۱) شیر فشارشکن درست قبل از ورودی پمپ نصب می‌شود.
- (۲) شیر فشارشکن درست بعد از خروجی پمپ نصب می‌شود.
- (۳) شیر فشارشکن درست قبل از ورودی تانک تخلیه نصب می‌شود.
- (۴) اگر فاکتور ایمنی لحاظ شود نیازی به نصب شیر فشارشکن نیست.

-۱۴۸

از کدام یک از ابزارهای زیر برای اندازه‌گیری سرعت موضعی در لوله می‌توان استفاده نمود؟

(۱) اوریفس متر

(۲) نازل جریان

(۳) ونتوری متر

(۴) لوله پیتوت

-۱۴۹

در صورتی که تنها معیار افزایش مقیاس (scale up) یک مخزن تشابه دینامیکی با تأکید بر Re_M باشد، اگر یک همزن توربینی استاندارد با قطر بره 1 m و دور 50° rpm کار کند، شرایط فرآیند مشابه برای یک همزن صنعتی با قطر 1 m چند دور در دقیقه است؟

$$5000 \quad (۱)$$

$$50 \quad (۲)$$

$$10 \quad (۳)$$

$$5 \quad (۴)$$

-۱۵۰

در یک سیال پاورلا با $\frac{1}{n} = n$. در صورتی که قطر لوله دو برابر شود، افت فشار چند برابر می‌شود؟

$$\frac{1}{4} \quad (۱)$$

$$\frac{1}{3} \quad (۲)$$

$$\frac{1}{2} \quad (۳)$$

$$2 \quad (۴)$$

PardazeshPub.com



PardazeshPub.com



PardazeshPub.com

